

# モデリング手法(3)

## ～ 植物を介した移行 ～

Methods for modeling (3)  
- Transfer around land plants -

生命環境系 / CRiED  
古川 純

Faculty of Life and Environmental Sciences  
Center for Research in Isotopes and Environmental Dynamics  
Jun FURUKAWA



筑波大学生命環境系  
Faculty of Life and  
Environmental Sciences  
University of Tsukuba



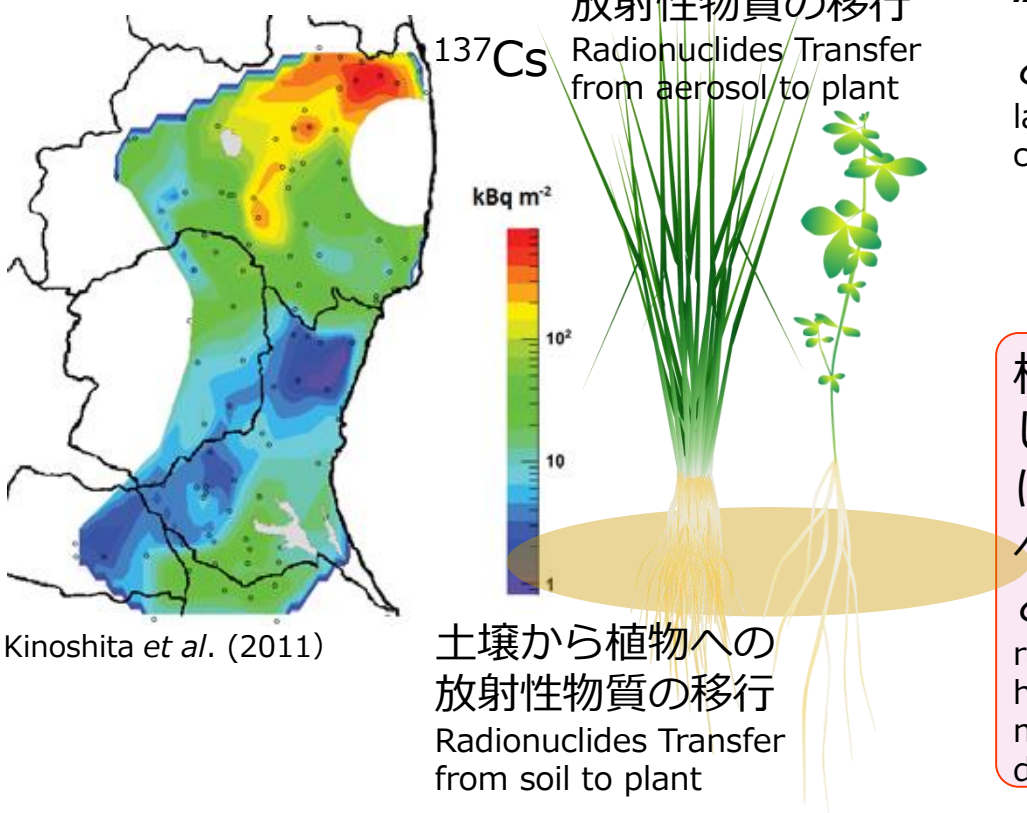
アイソトープ環境動態研究センター  
**CRiED** Center for Research in  
Isotopes and Environmental Dynamics

# 放射性物質の環境動態研究において 植物を中心とした移行を明らかにする

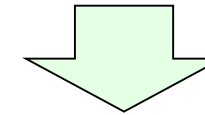
## Identification of the transfer mechanisms around plants

放射性物質による汚染状況が明らかになるにつれ、環境中でどのように移行していくかという環境動態の解明に焦点は移りつつある

Radionuclides released from Fukushima Dai-ich Nuclear Power Plant spread to the environment and the environmental dynamics of radionuclides is now focused on.



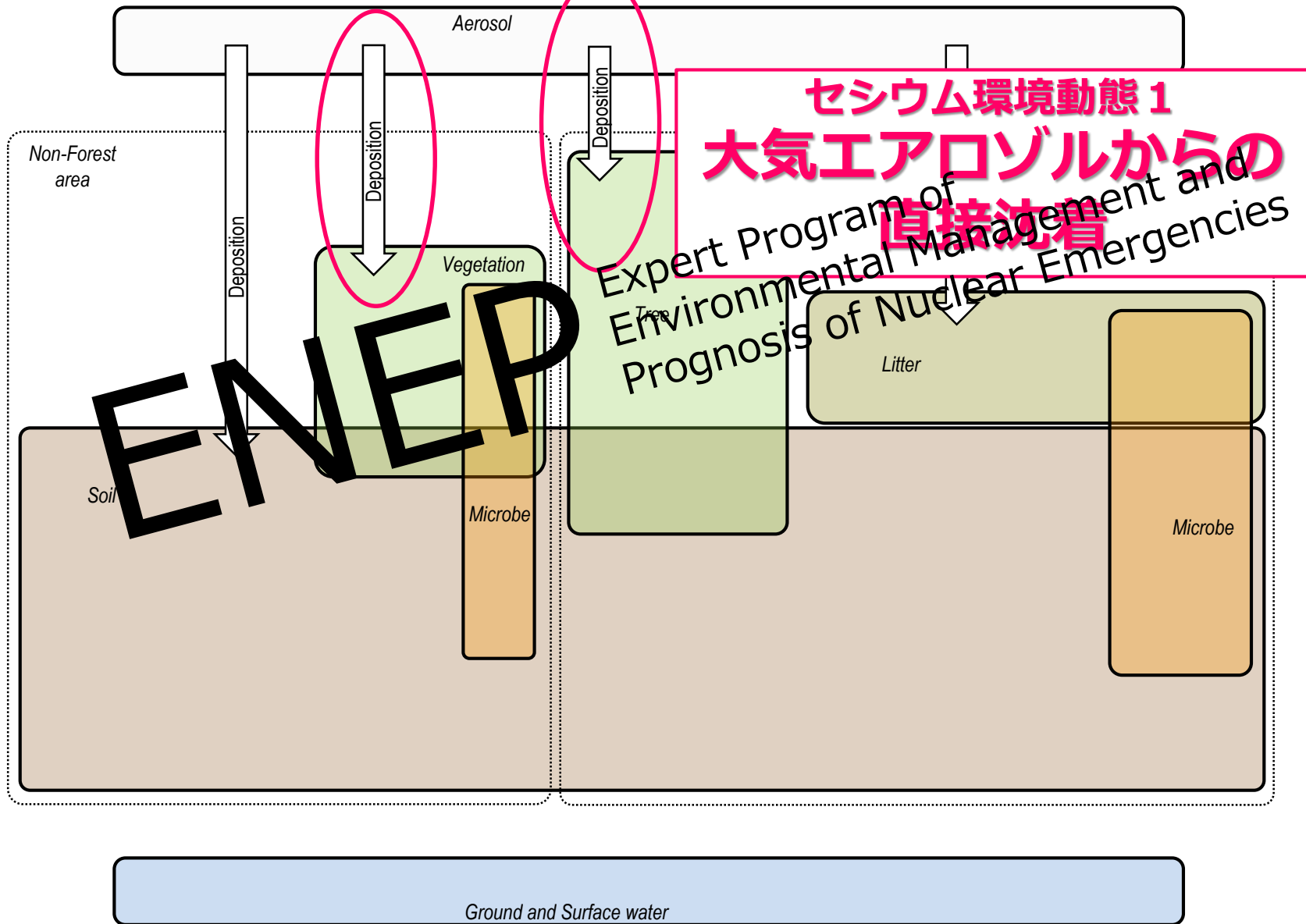
植物を中心とした移行過程の理解は放射性物質の動態解明の観点のみならず“生態系への放射性物質の入り口”として極めて重要 The transfer of <sup>137</sup>Cs around land plants is one of the most important steps for considering the influx of <sup>137</sup>Cs into ecosystem



植物の放射性物質取込み過程を明らかにし、植物への移行を抑制する手法を早期に開発することで、人間を含めた生態系への放射性物質汚染の拡大を、最小限にとどめる必要がある To minimize the spread of radionuclides contamination into ecosystem, including human-beings, identification of the transfer mechanisms of radionuclides around the plant and development of its reduction method is needed

# 陸域生態系における動態把握

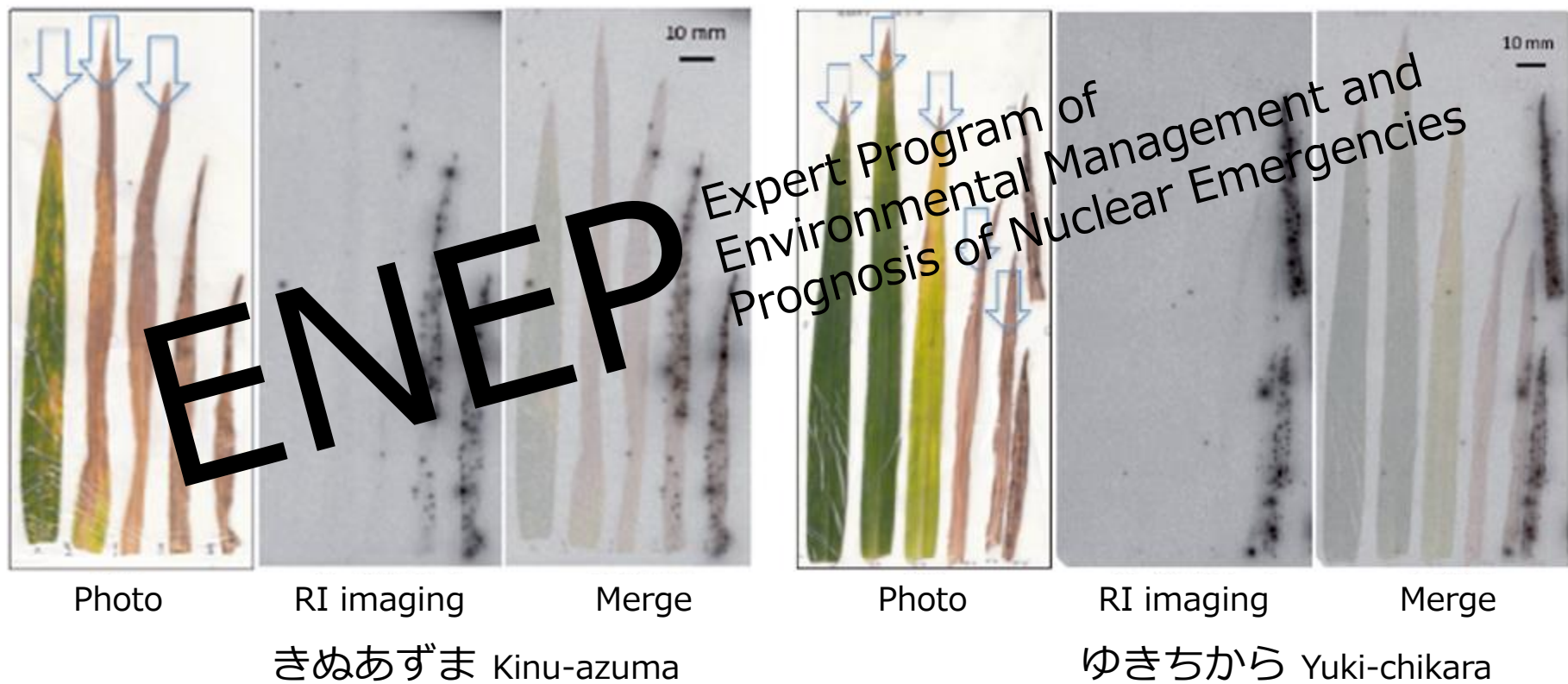
Dynamics of radioactive nuclides within terrestrial ecosystem



# 福島県でサンプリングされたコムギの汚染

Direct contamination of wheat

H23.5.26採取 Sampling at 26<sup>th</sup> May 2011



# 福島県でサンプリングされたスギの汚染

Radio-Cs contamination of sugi (*Cryptomeria japonica*)

H24.12.1-2採取 Sampling at 1<sup>st</sup> to 2<sup>nd</sup> Dec 2012

Futaba (01 Dec. 2012; 40.5 h)

Iwaki (02 Dec. 2012; 49.9 h)

ENEPEP

Expert Program of  
Environmental Management and  
Prognosis of Nuclear Emergencies

$^{137}\text{Cs}$  (kBq/kg)

Pre-2010	2011	2012	Male flowers
7.3	3.1	2.5	5.5

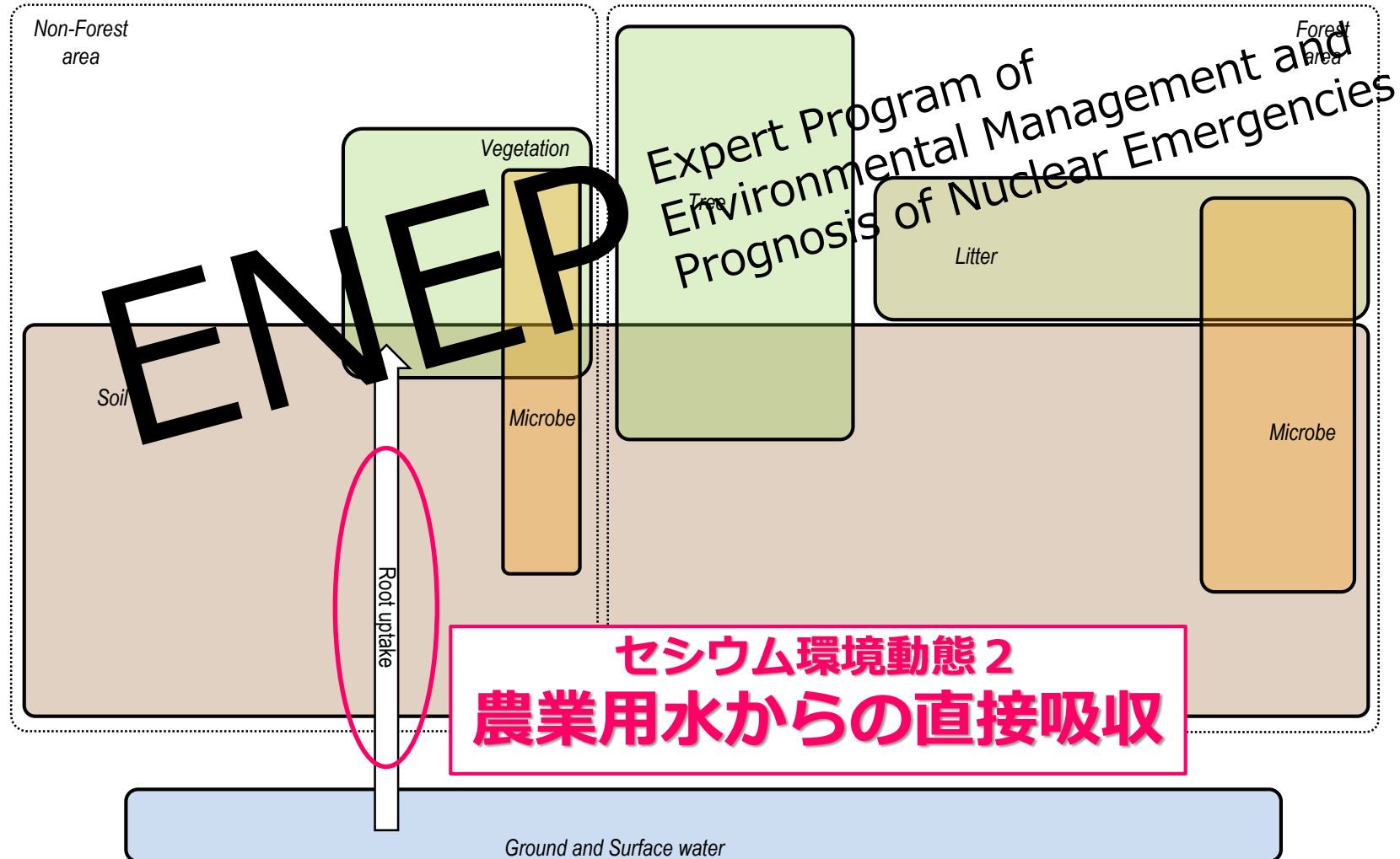
$^{137}\text{Cs}$  (kBq/kg)

Pre-2010	2011	2012	Male flowers
7.6	0.4	0.2	1.0

# 陸域生態系における動態把握

Dynamics of radioactive nuclides within terrestrial ecosystem

Aerosol





## 福島のニュース

[トップ](#) | [主要](#)

## 旧渋川村(二本松)コメ基準超 セシウム汚染 県調査

県は7日、二本松市の旧渋川村で生産されたコメから国の暫定基準値(1キロ当たり50ベクレル)を超える780ベクレルの放射性セシウムが検出されたと発表した。県は市に対し、旧渋川村のコメの出荷自粛を要請した。県の同日までの調査で、基準値を越えたのは計22戸の270点となった。

県によると、旧渋川村で生産された玄米を二本松市へ8日に簡易分析器で調べたところ、基準値を超えた市から連絡を受けた県が分析した結果、780ベクレルが検出された。白米は370ベクレルだった。

このコメが生産された水田は19アールで、30キロ入り35袋が収穫された。生産者の自宅や近隣農家に全量保管されている。同じ農家が別の水田で収穫した2895キロはライスセンターで保管され、いずれも出荷されていないという。

県は基準値を超えたコメが生産された水田周辺で収穫された玄米2点を調べたが、最大で53ベクレルだった。県は基準値を超えた原因究明に向け、栽培管理などを調べている。

旧渋川村の稻作農家は248戸。県は全戸調査を実施する。政府は、旧渋川村一帯のコメの出荷停止を8日にも県に指示する方針を固めた。

◇ ◇

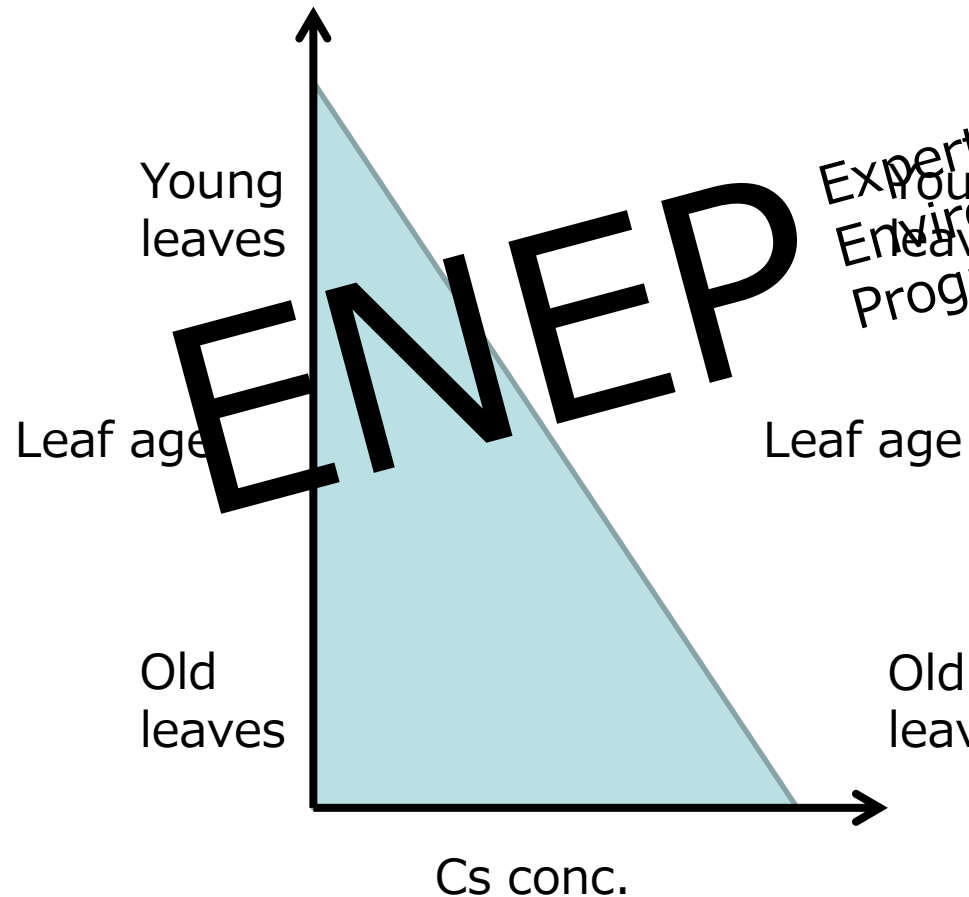
県が全袋調査を実施している大波地区では7日までに、138戸の4693点を調べた。このうち、15戸の263点が基準値を超えた。また、全戸調査の対象地域では福島、伊達、相馬、いわき4市の10日市町村の702戸、924点を調べ、6点が基準値を上回っている。

ENEPR Expert program of Environmental Management and  
prognosis of Nuclear Emergencies

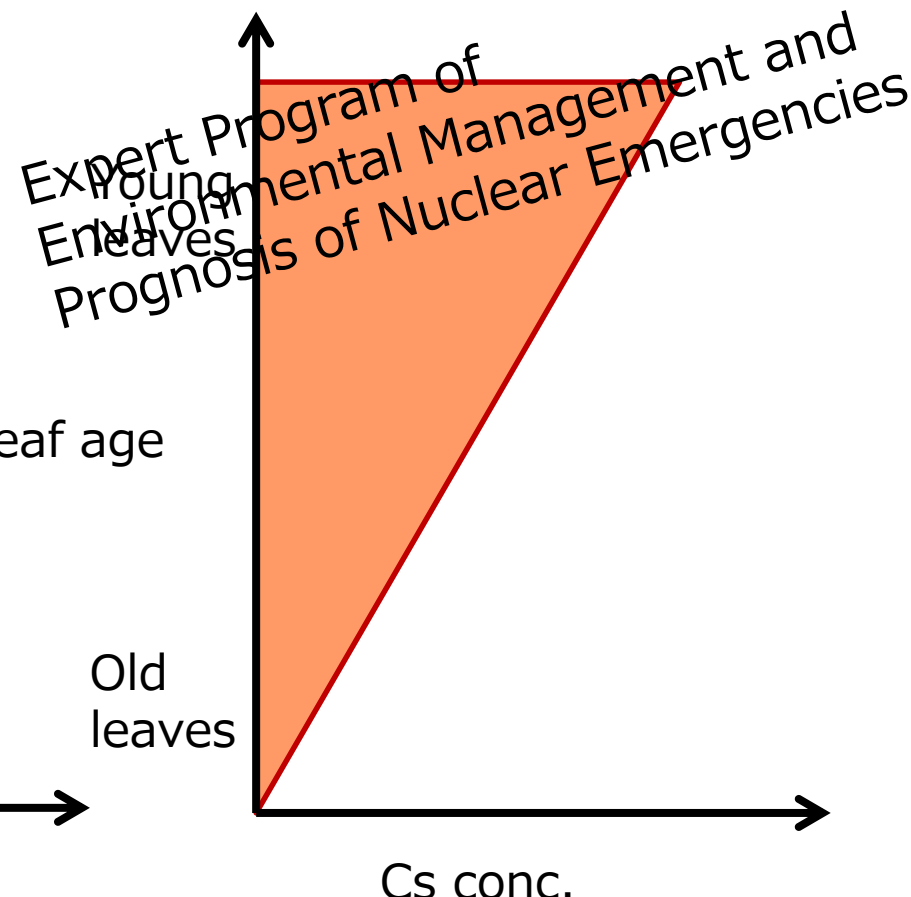
# 規制値超過イネ中のセシウム蓄積パターン

Radio-Cs accumulation pattern in rice

福島県農業総合センターのイネ  
Rice harvested at controlled soil

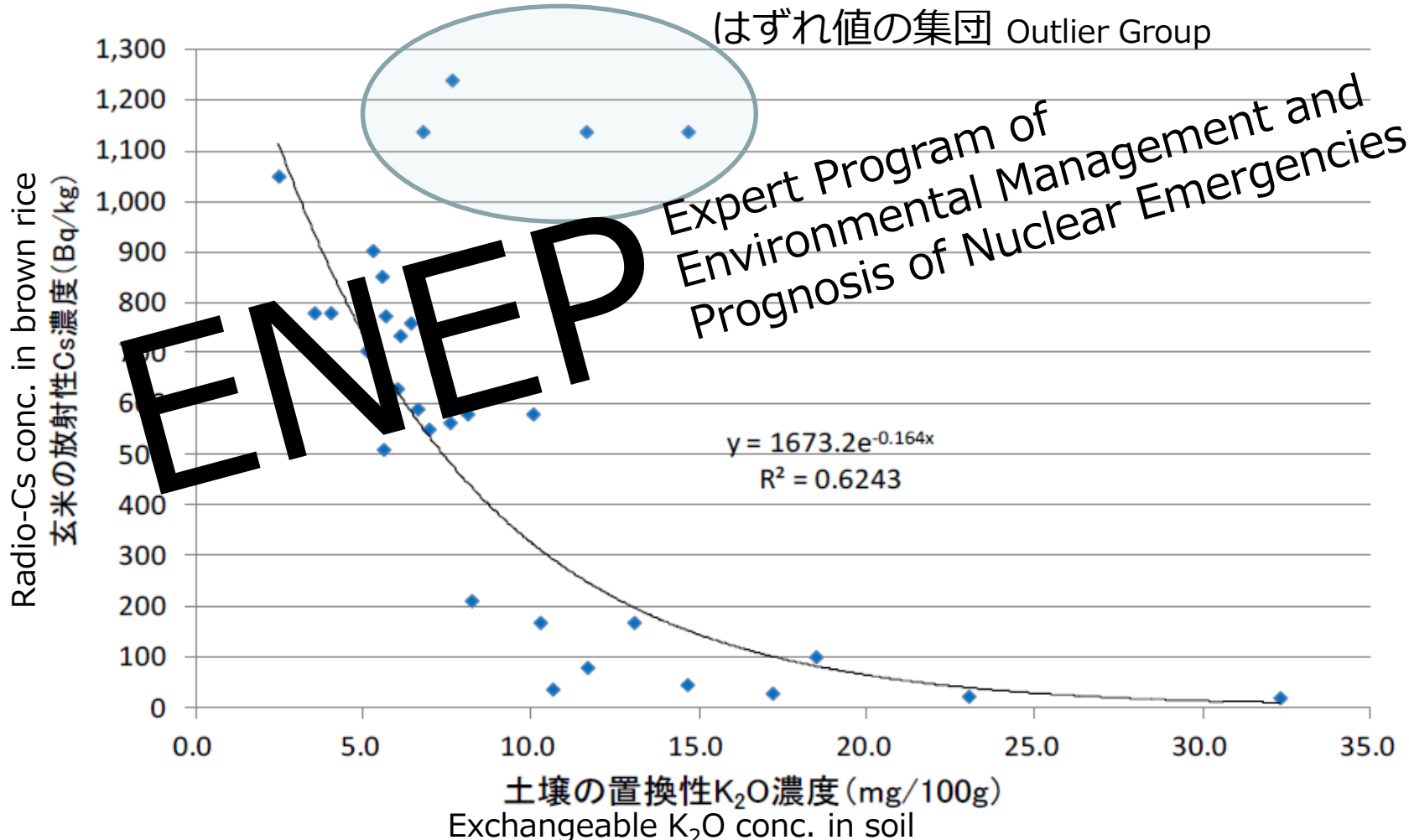


玄米が規制値を超過したイネ  
Rice contained excess conc. of Radio-Cs



# 土壤中置換性カリウム濃度と 玄米中セシウム濃度の関係

Relationship between soil exchangeable K conc. and Radio-Cs conc. in brown rice

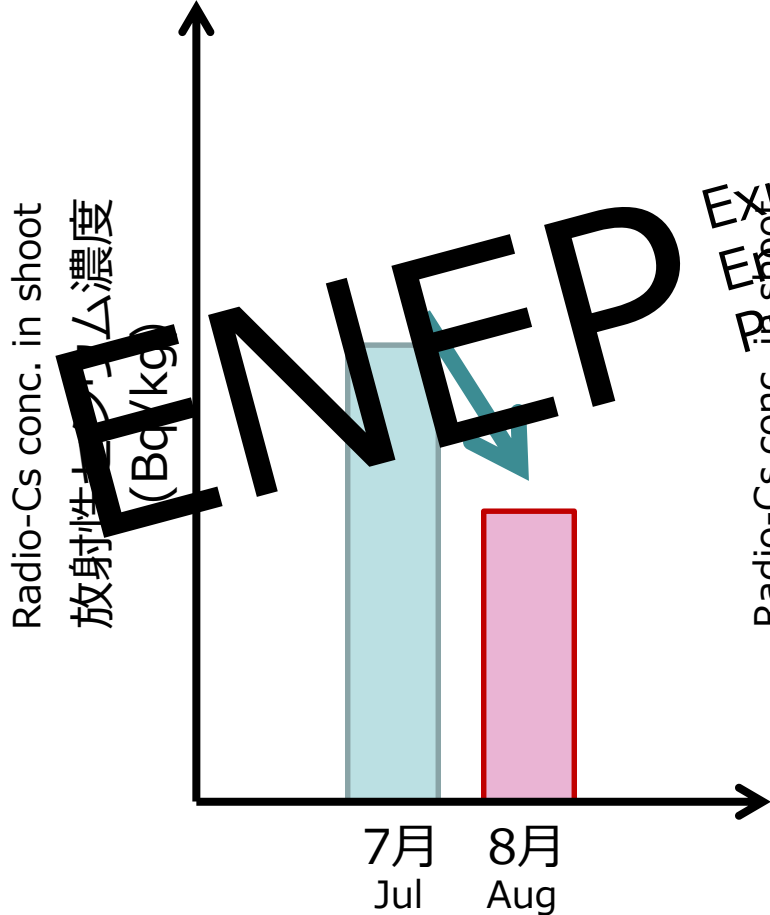


暫定規制値を超過した放射性セシウムを含む米が生産された要因の解析（中間報告）より  
(福島県、農林水産省)

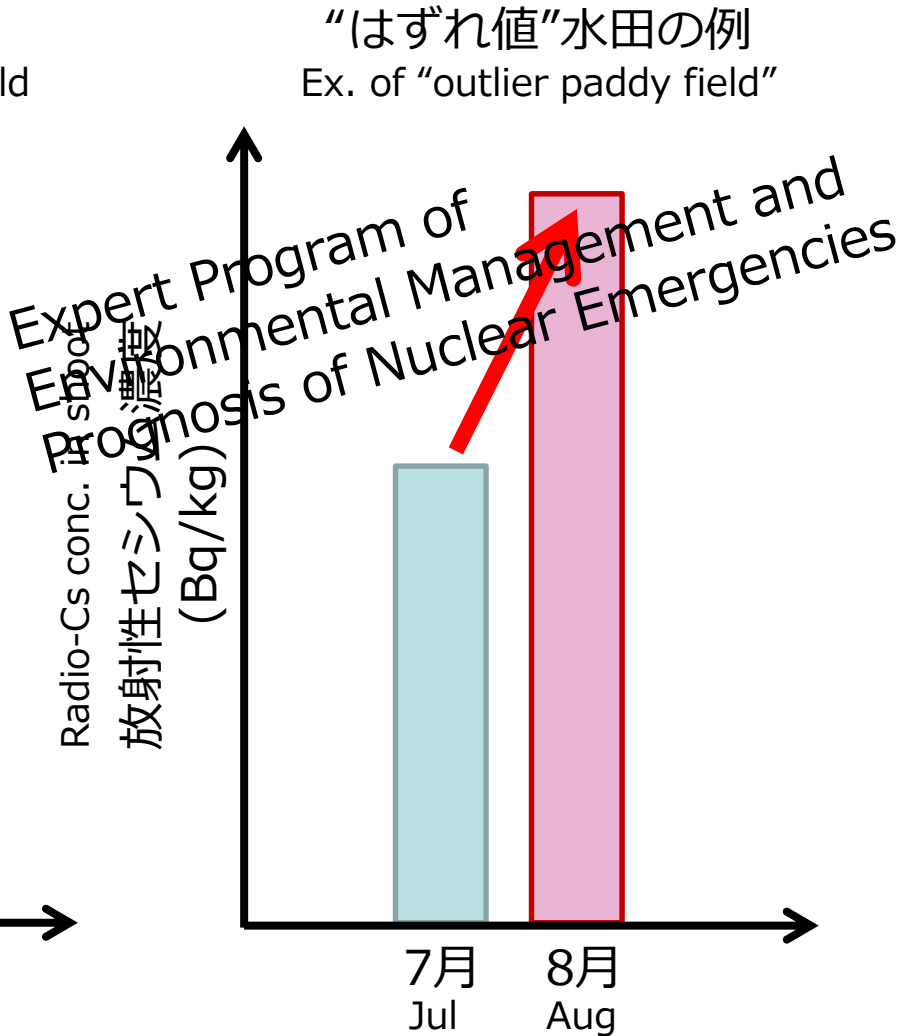
# イネ茎葉中セシウム濃度の経時変化

Growth dependent Radio-Cs conc. in rice shoot

通常水田の例  
Ex. of general paddy field

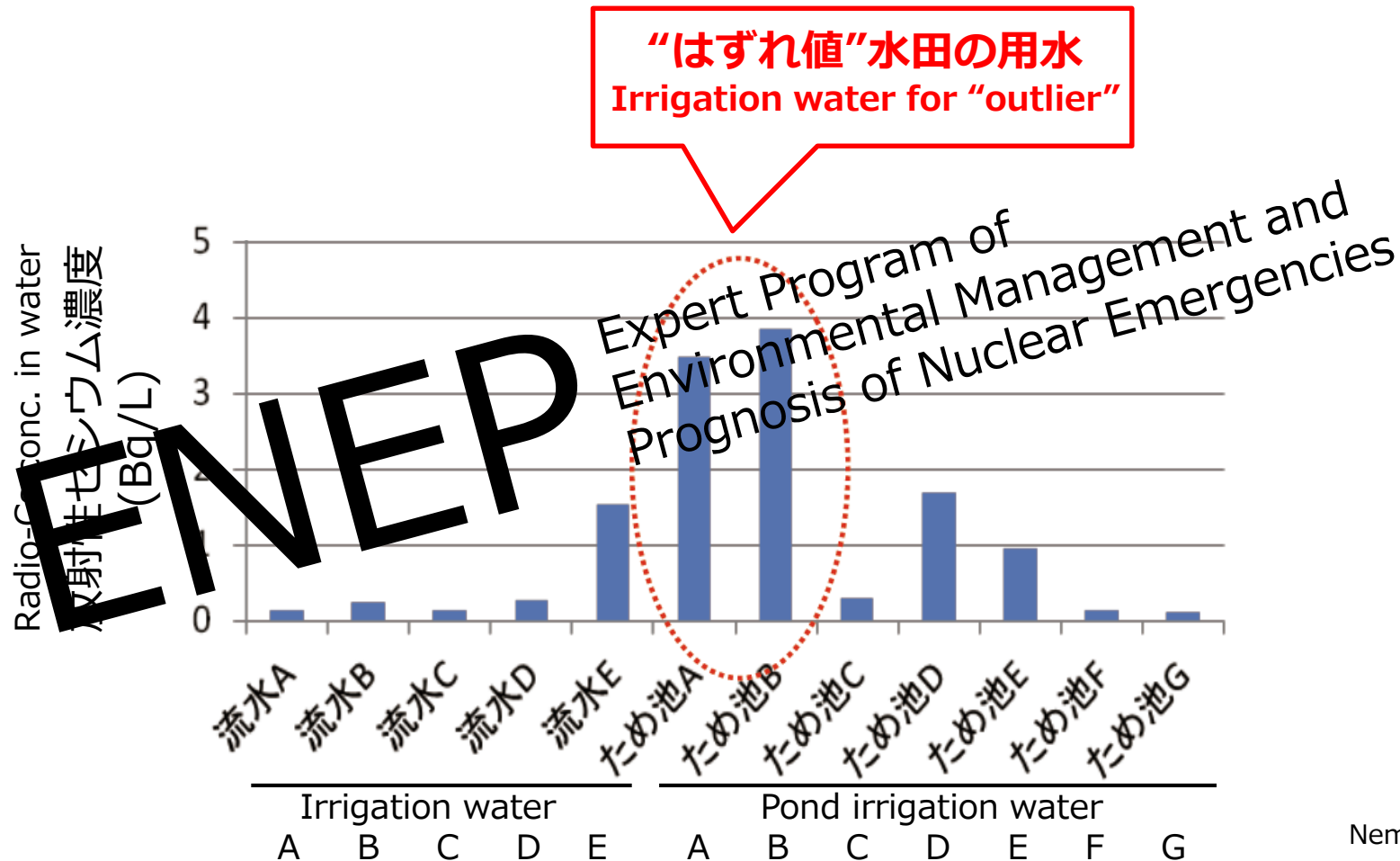


“はずれ値”水田の例  
Ex. of “outlier paddy field”



# 農業用水中の懸濁態<sup>137</sup>Cs濃度

Concentration of suspended form of radio-Cs in irrigation and pond water



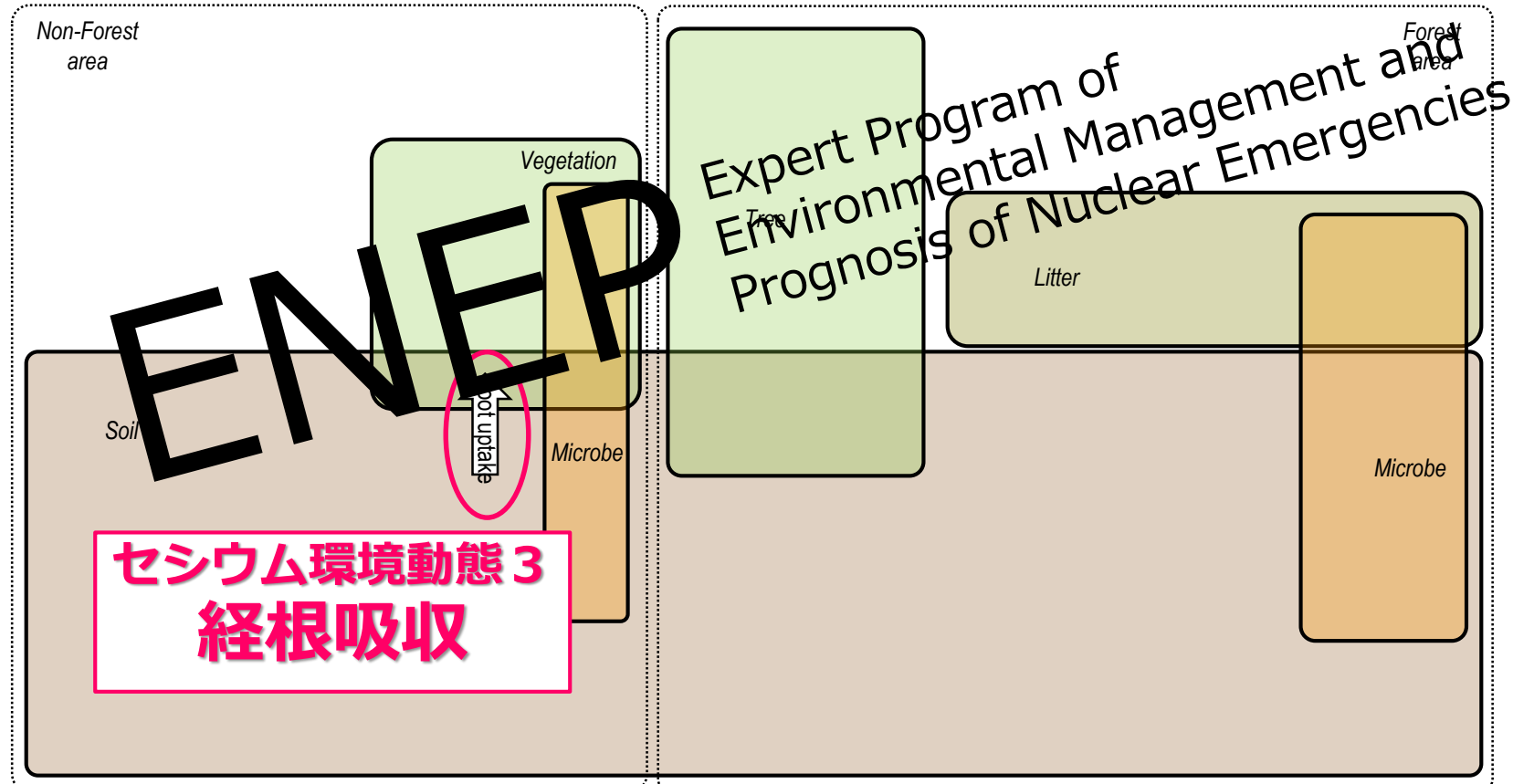
放射性セシウムの濃度の高い農業用水の流入が  
玄米中セシウムの上昇に関与

Influx of radio-Cs contaminated irrigation water enhance its conc. in brown rice

# 陸域生態系における動態把握

Dynamics of radioactive nuclides within terrestrial ecosystem

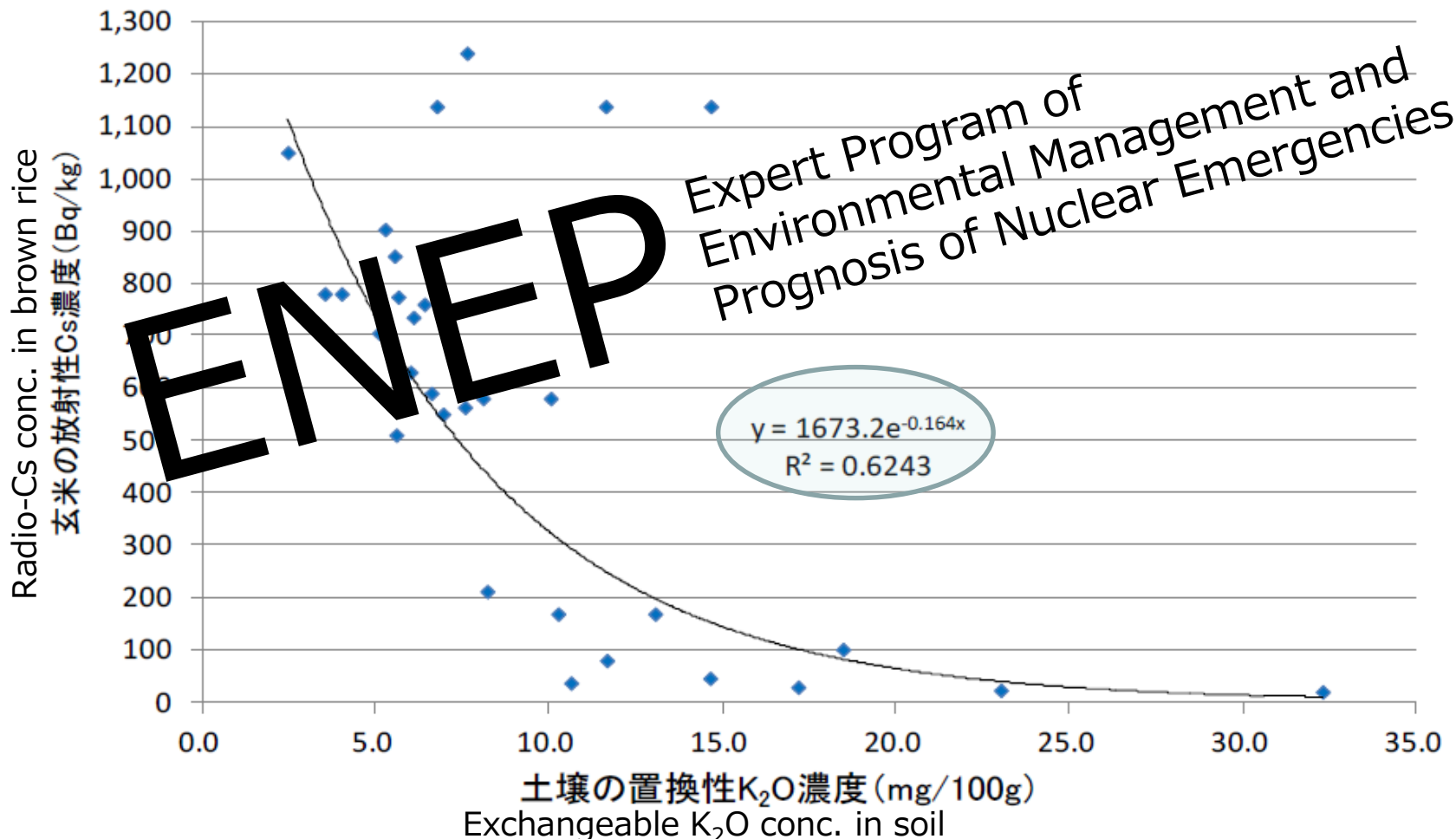
Aerosol



Ground and Surface water

# 土壤中置換性カリウム濃度と 玄米中セシウム濃度の関係

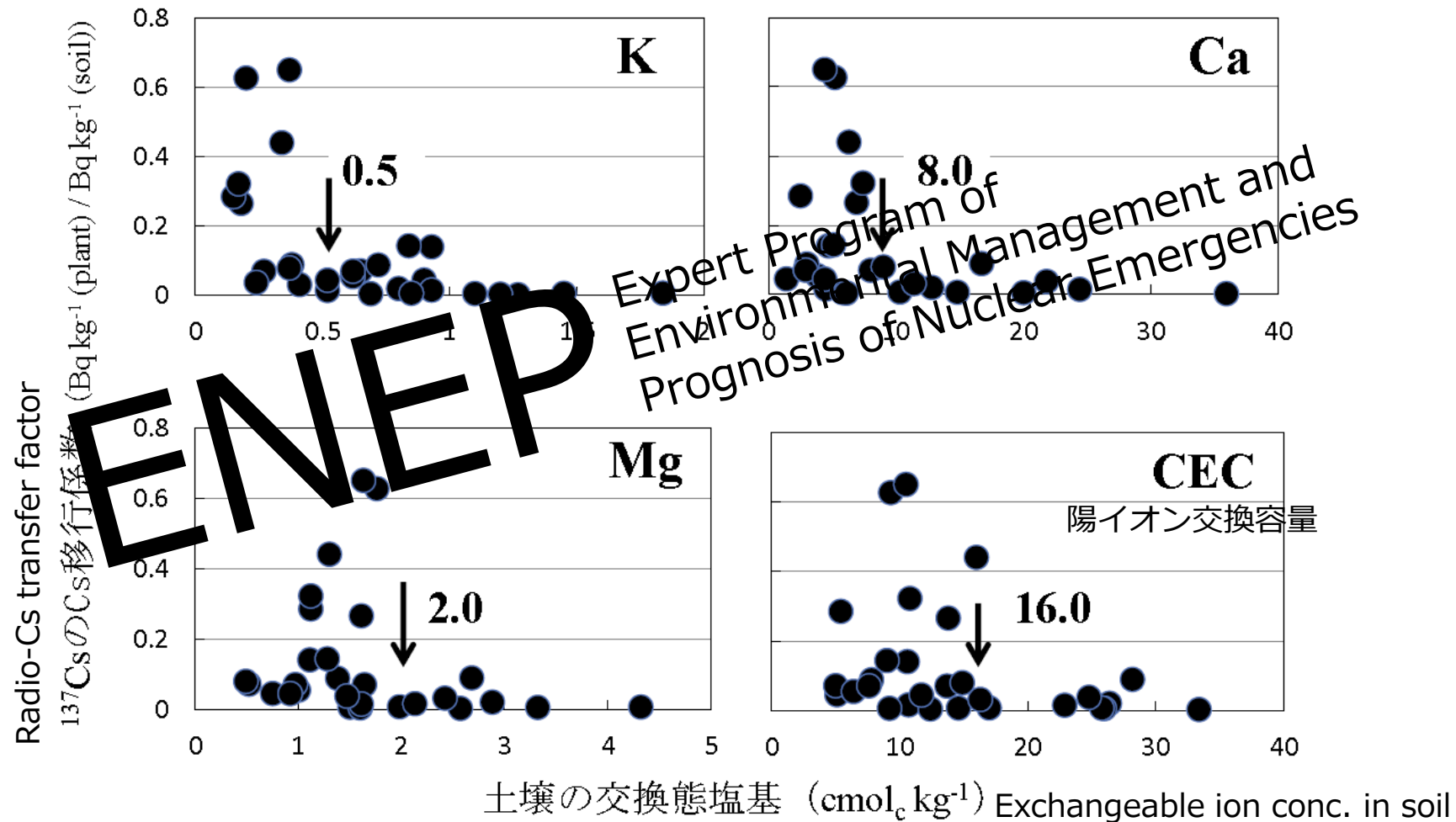
Relationship between soil exchangeable K conc. and Radio-Cs conc. in brown rice



暫定規制値を超過した放射性セシウムを含む米が生産された要因の解析（中間報告）より  
(福島県、農林水産省)

# 土壤中のイオン濃度と<sup>137</sup>Csの移行係数

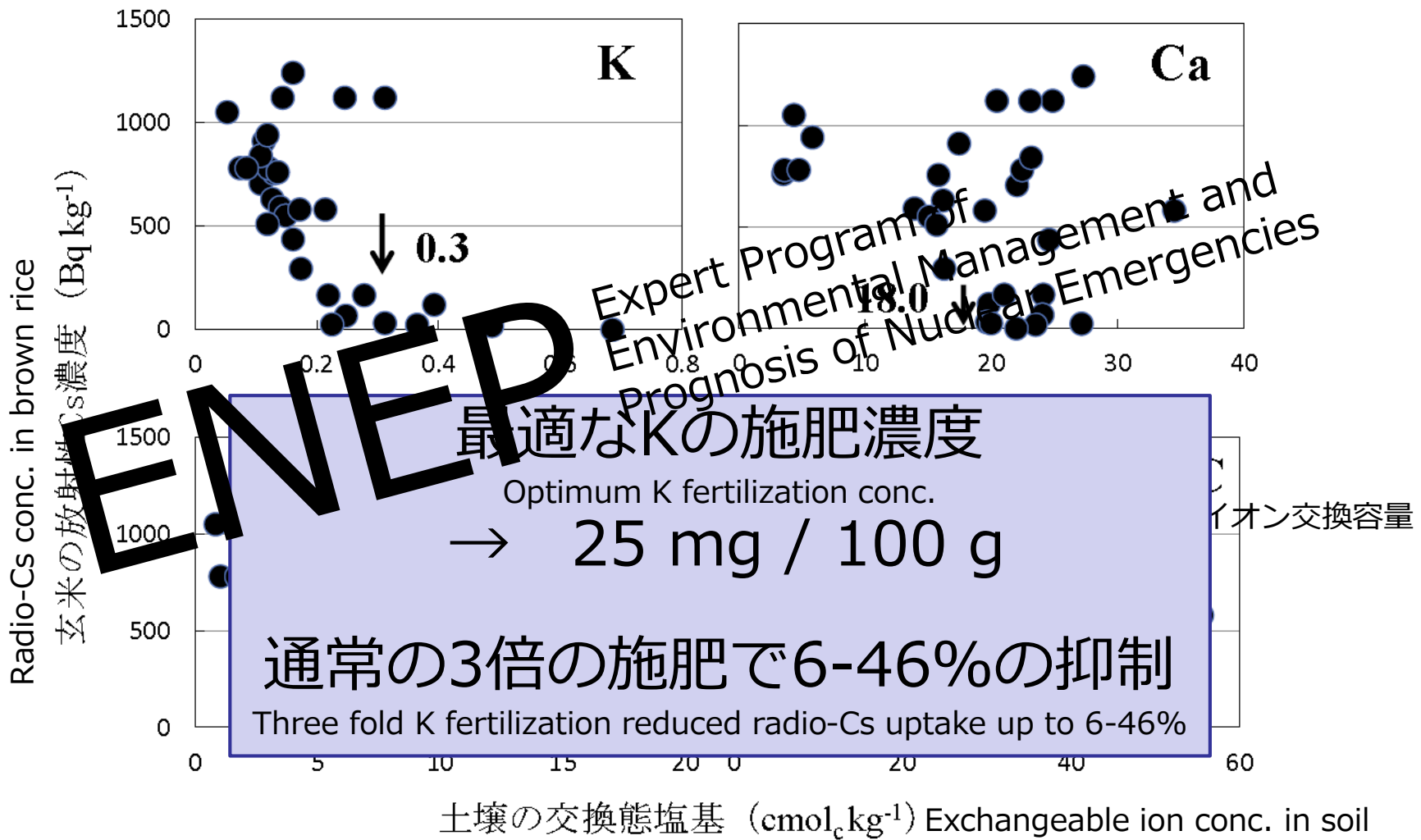
Exchangeable ion conc. in soil and transfer factor of <sup>137</sup>Cs



土壤の交換性塩基およびCECと<sup>137</sup>CsのCs移行係数との関係  
(Smolders et.al (1997) のデータから作図)

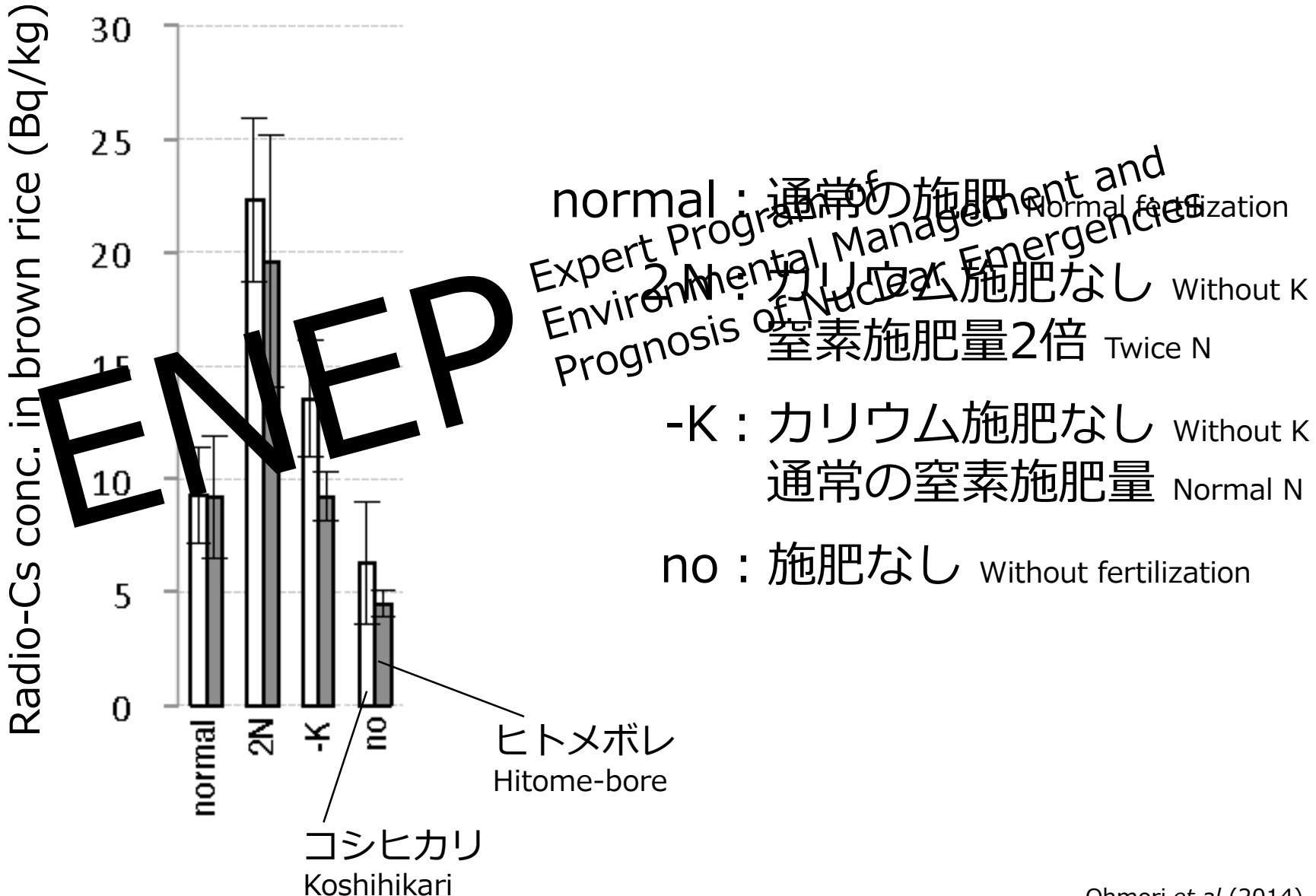
# 土壤中のイオン濃度と玄米中の<sup>137</sup>Cs濃度

Exchangeable ion conc. in soil and <sup>137</sup>Cs conc. in brown rice



# 施肥のバランスとセシウム吸収

Radio-Cs uptake under high N condition



# 福島県農林水産物モニタリングHP

Website to inform radionuclides contamination  
in agricultural and marine products



新たな未来へ向けて再生し始めてる福島の姿を  
全国の皆さんに伝えていきます。

	ヨウ素 131 (Bq/kg)			セシウム 134・セシウム 137 (Bq/kg)			
基準値	平成24年4月からの基準値では 設定されておりません。			飲料水	牛乳	一般食品	乳児用食品
				10	50	100	50
暫定規制値	飲料水	牛乳・乳製品	野菜類 (根菜・芋類を除く)	魚介類	飲料水	牛乳・乳製品	野菜類 穀類 肉・卵・魚・ その他
	300	300	2000	2000	200	200	500

暫定規制値と基準値についてはこちらをご覧ください。

■は基準値(平成24年3月以前は暫定規制値)を超過している農産物です。

品目	生産市町村名 (クリックで地図表示)	検出核種・濃度			サンプル 採取日	発表日
		ヨウ素 131	セシウム 134	セシウム 137		
大豆	大玉村 (旧大山村)	---	5.4	5.4	2014-11-19	2014-11-26
大豆	南相馬市 (旧石神村)	---	5	87.3	2014-02-04	2014-03-04
大豆	南相馬市 (旧石神村)	---	3	88	2014-02-04	2014-03-04
大豆	南相馬市 (旧石神村)	---	23	23	2014-02-04	2014-03-04
大豆	南相馬市 (旧石神村)	---	2	85.2	2014-02-04	2014-03-04
大豆	南相馬市 (旧石神村)	---	26.8	86.8	2014-02-04	2014-03-04
大豆	南相馬市 (旧石神村)	---	33.5	83.9	2014-02-04	2014-03-04
大豆	南相馬市 (旧石神村)	---	38.1	82.9	2014-02-04	2014-03-04
大豆	南相馬市 (旧石神村)	---	31.6	89.3	2014-02-04	2014-03-04
大豆	南相馬市 (旧石神村)	---	31.7	86.9	2014-02-04	2014-03-04
大豆	南相馬市 (旧石神村)	---	29.5	91.1	2014-02-04	2014-03-04
大豆	南相馬市 (旧石神村)	---	33.4	86.2	2014-02-04	2014-03-04
大豆	南相馬市 (旧石神村)	---	34.1	89.4	2014-02-04	2014-03-04
大豆	南相馬市 (旧石神村)	---	31.9	87.6	2014-02-04	2014-03-04
大豆	南相馬市 (旧石神村)	---	34.7	93.6	2014-02-04	2014-03-04
大豆	南相馬市 (旧石神村)	---	34.3	92.4	2014-02-04	2014-03-04
大豆	南相馬市 (旧石神村)	---	37.3	78	2014-02-04	2014-03-04

調査期間：2014年1月から12月



農林水産省発表資料より

# 可食部にカリウムを多く貯める作物

Crops which accumulate potassium in the edible tissue

順位	作物名	窒素	リン酸	カリウム	順位	作物名	窒素	リン酸	カリウム
1	タバコ	36.8	16.4	98.6	11	エダマメ	9.57	2.02	17.5
2	ナタネ	71.0	23.9	88.8	12	トウモロコシ	10.7	4.45	17.3
3	茶	131.6	16.2	7.3	13	露地メロン	3.08	2.02	15.7
4	✓インゲン	10.1	15.7	55.6	14	桑	12.5	2.13	10.5
5	アズキ	46.68	15.3	35.4	15	イネ科牧草	6.50	2.50	10.2
6	大豆	19.2	10.3	32.1	16	二条大麦	14.5	6.17	10.0
7	✓二条大麦	20.3	7.8	31.4	17	レンコン	8.0	1.80	9.13
8	小麦	25.2	9.5	31.1	18	ゴボウ	6.74	2.90	8.75
9	✓落花生	63.0	7.4	26.8	19	ホウレンソウ	4.63	1.29	8.51
10	水稻	18.7	9.25	26.4	20	コンパ牧草	6.25	2.20	8.38

注：穀類・豆類は乾燥子実

出典：尾和尚人：わが国の農作物の養分収支，（農業環境技術研究所（1996年）

マメ科の作物 ✓ は可食部に多くのカリウムを貯めている  
Many legume crops ✓ accumulate potassium in their seeds

# ミヤコグサ(*Lotus japonicus*)

マメ科のモデル植物 : Model plants for legume

ゲノム情報が利用可能 Genome information is available

分子生物学的手法が利用可能 Methods of molecular biology is available

リソースが充実 Highly prepared resources

金属集積の系統間差

Expert Program of Environmental Management and  
Gifu B-129の種子において、  
Miyakojima MG-20と Fe, Ni, Cu, Znの集積量に差 Fe, Ni, Cu and Zn accumulations  
in seed are different between MG-20 and B-129 (Klein and Grusak 2009)



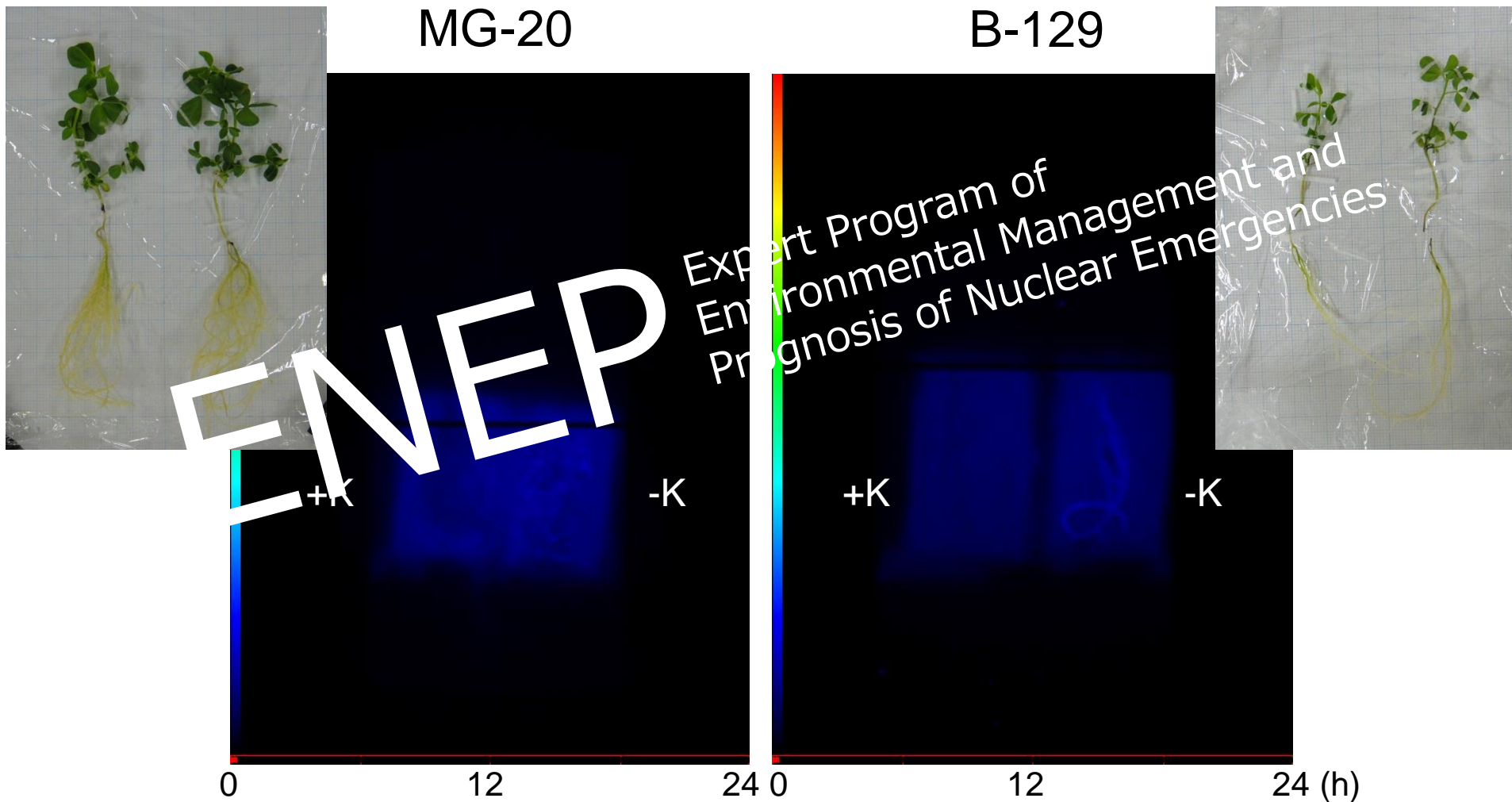
MG-20



B-129

# ミヤコグサにおけるK欠乏の<sup>137</sup>Cs吸収への影響

Effect of K starvation on <sup>137</sup>Cs uptake and translocation in *L. japonicus*



吸収試験前3日間のK欠乏処理により<sup>137</sup>Csの吸収量が増加  
K starvation for 3 days enhanced <sup>137</sup>Cs uptake

# カリウム輸送系を介したセシウムの輸送

Translocation of  $^{137}\text{Cs}$  mediated by  $\text{K}^+$  transport systems

Inward  $\text{K}^+$  channel

AKT1, KAT1, KST1 etc.

High-affinity  $\text{K}^+/\text{H}^+$  symporter

KUP1, HAK5 etc.

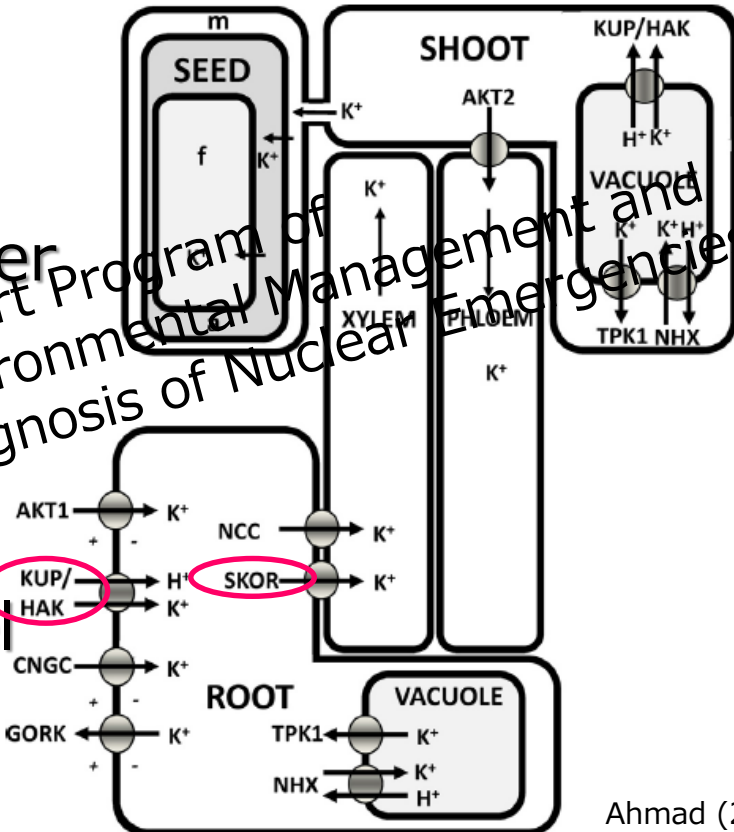
High-affinity  $\text{K}^+$  transporter

HKT1 etc.

Non-selective cation channel

CNGC, GLR etc.

ENP



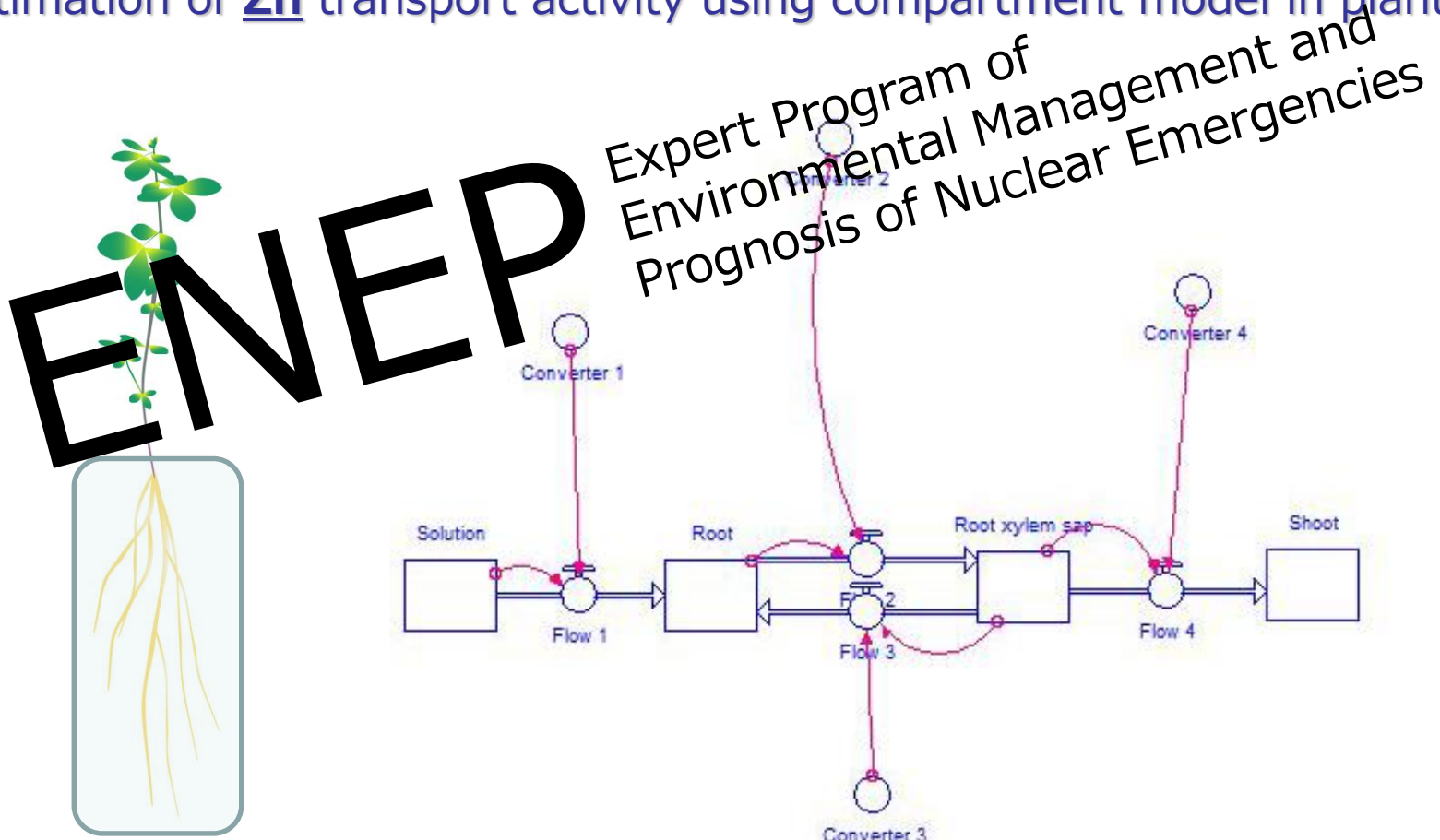
Ahmad (2014)

## カリウム欠乏により活性化される輸送系の解明が必要

Identification of Cs translocation system activated by the K deficiency

# 亜鉛を対象とした コンパートメントモデルによる 輸送活性評価

Estimation of Zn transport activity using compartment model in plant



# ミヤコグサの亜鉛集積特性

Zinc accumulation in *L. japonicus*

Element	Accession	Concentration ( μmol / g D.W. )				Element	Accession	Concentration ( nmol / g D.W. )					
		Shoot		Root				Shoot		Root			
		Average	S.D.	Average	S.D.			Average	S.D.	Average	S.D.		
Na	MG-20	5.7	1.3	17.2	2.9	Mn	MG-20	513.7	14.1	677.8	76.9		
	B-129	18.7	8.3	54.3	24.0		B-129	555.1	72.4	2109.6	738.3		
Mg	MG-20	129.6	6.5	148.0	10.2	Fe	MG-20	1193.5	122.2	1905.9	247.1		
	B-129	121.1	10.1	144.3	15.4		B-129	810.8	80.6	3254.2	473.6		
P	MG-20	222.8	10.8	521.5	30.1	Ni	MG-20	23.0	10.5	30.8	7.9		
	B-129	255.3	6.0	438.0	42.0		B-129	45.1	14.6	79.8	20.4		
K	MG-20	1121.4	69.7	1949.4	94.8	Cu	MG-20	50.1	7.1	63.2	5.9		
	B-129	1041.4	95.7	1586.4	152.4		B-129	96.5	9.5	135.1	28.3		
Ca	MG-20	353.0	15.4	69.3	2.3	Zn	MG-20	594.2	79.6	529.5	36.8		
	B-129	302.7	45.4	70.2	6.1		B-129	1215.4	164.9	936.3	288.2		

ENEPEP  
Expert Program of  
Environmental Management and  
Prognosis of Nuclear Emergencies

播種後水耕栽培にて4週間

Grown with hydroponics for 4 weeks

1/10 Hoagland's 水耕液

1/10 Hoagland's solution

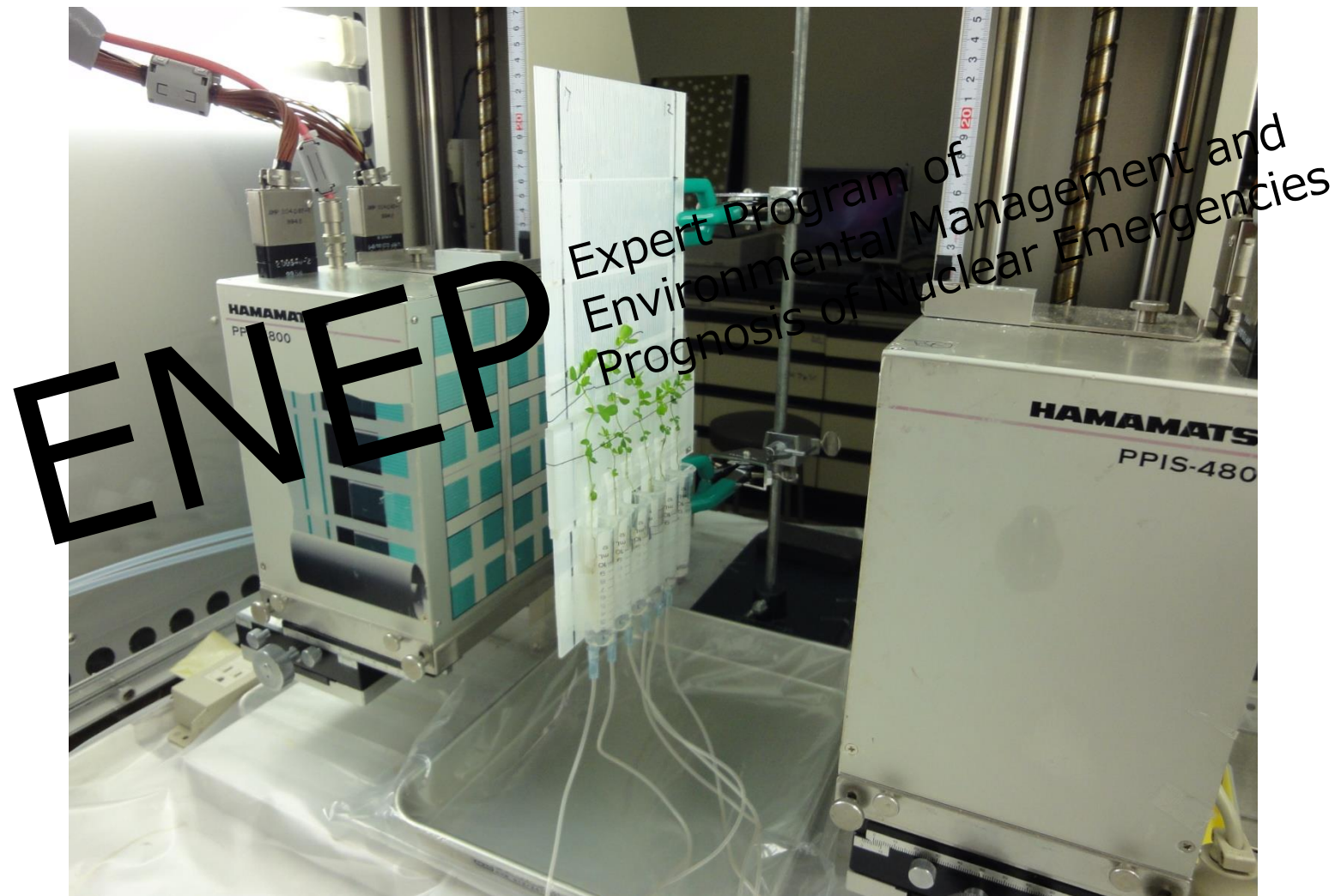
明期: 16 h、温度: 23°C

Light : 16 h, Temp. 23°C



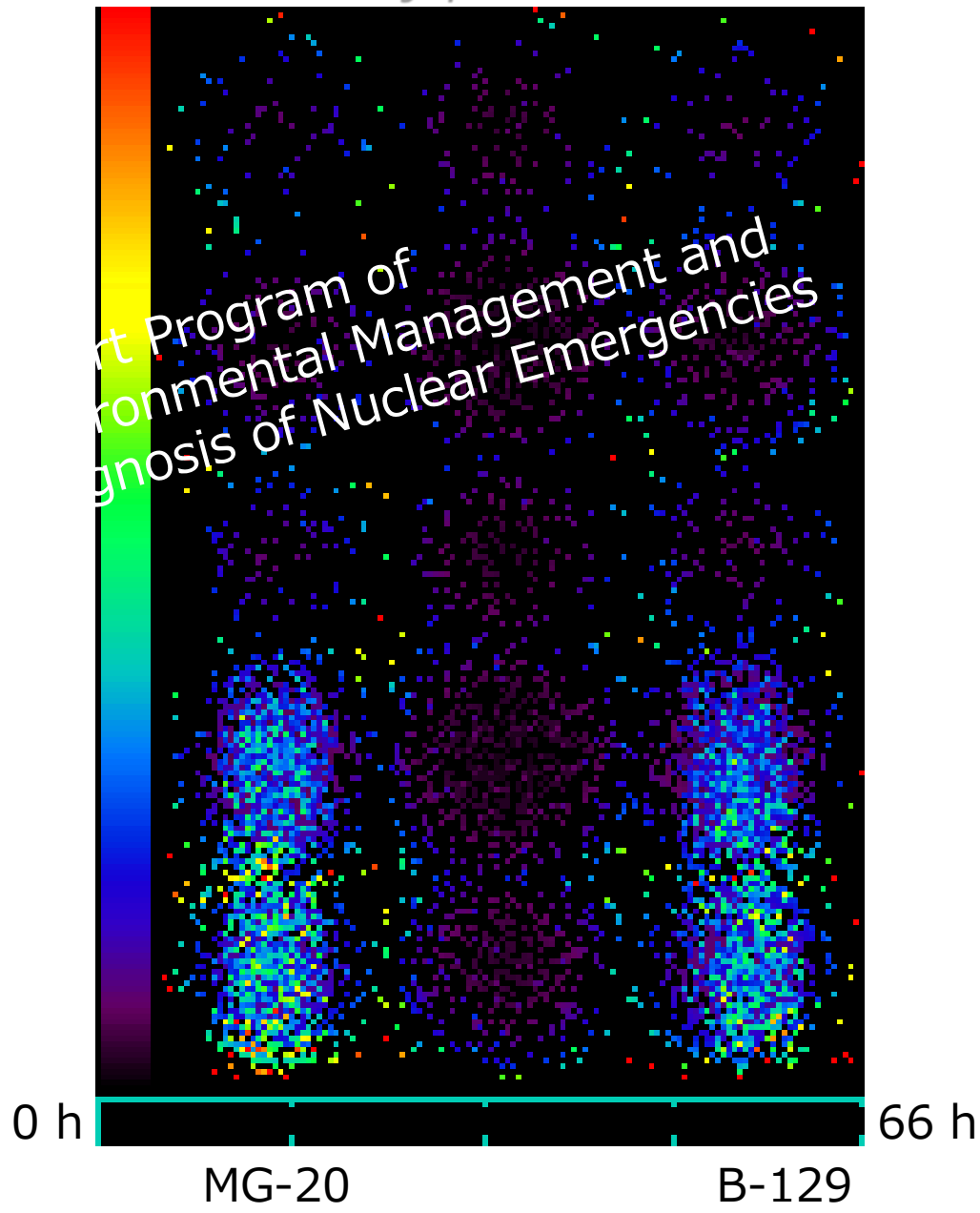
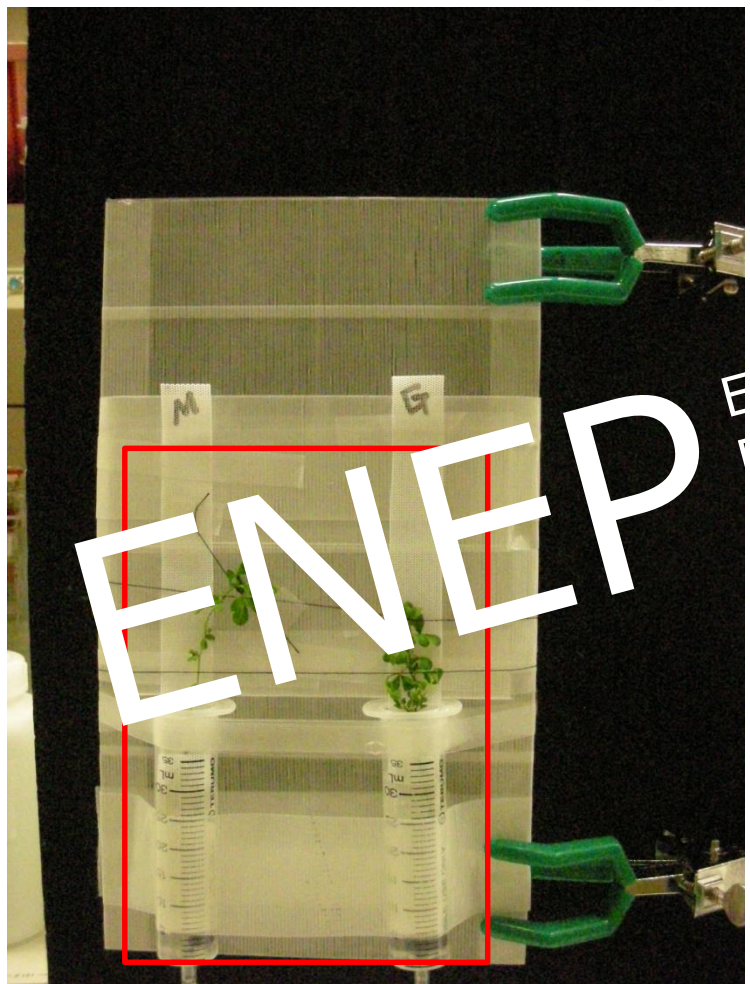
ICP-AESによる元素測定  
Measurement of element concentration  
with ICP-AES

# Positron Emitting Tracer Imaging System (PETIS)



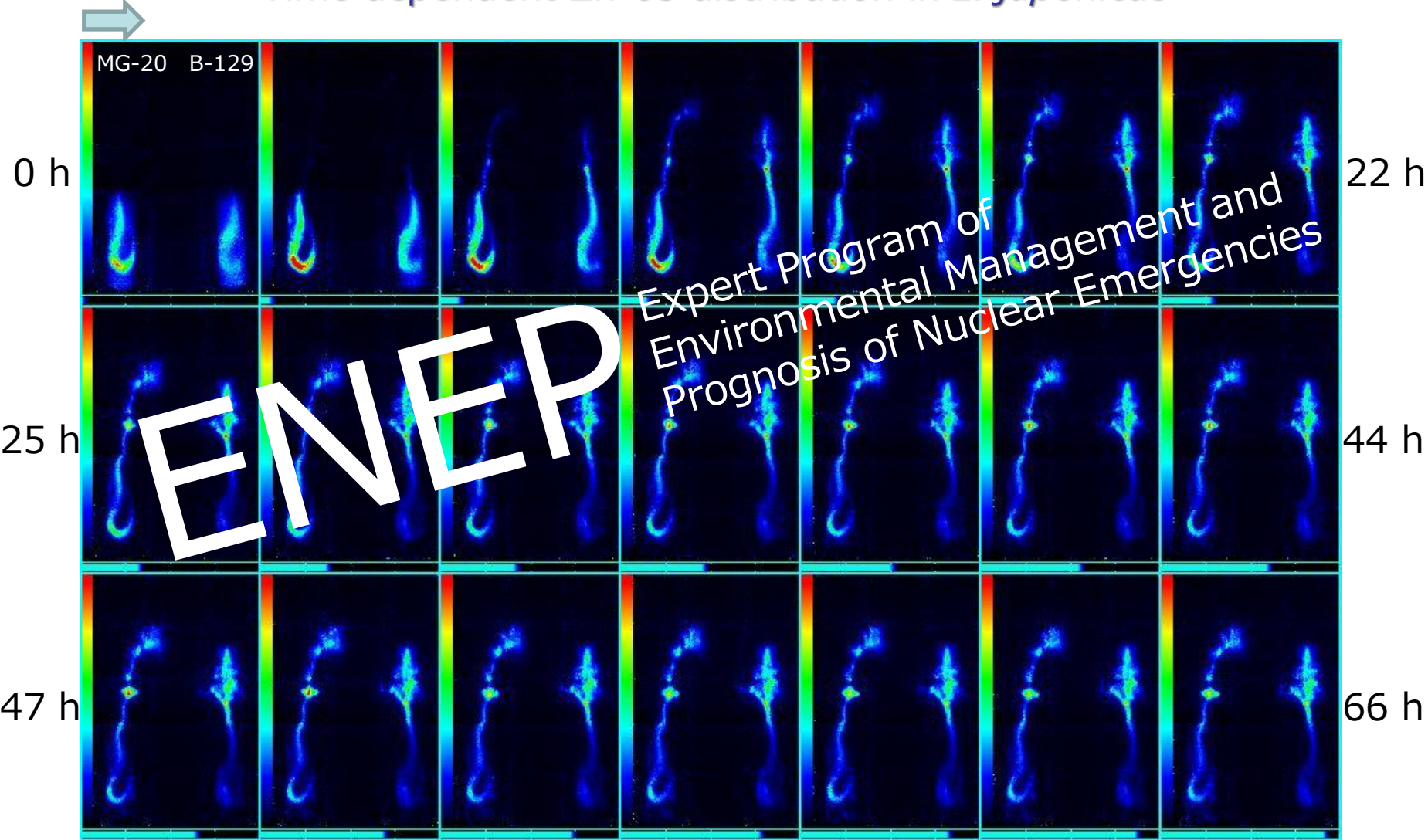
# ミヤコグサにおける亜鉛の輸送

Real-time imaging of zinc transfer in *L. japonicus*



# $^{65}\text{Zn}$ 局在の時間変化

Time dependent Zn-65 distribution in *L. japonicus*

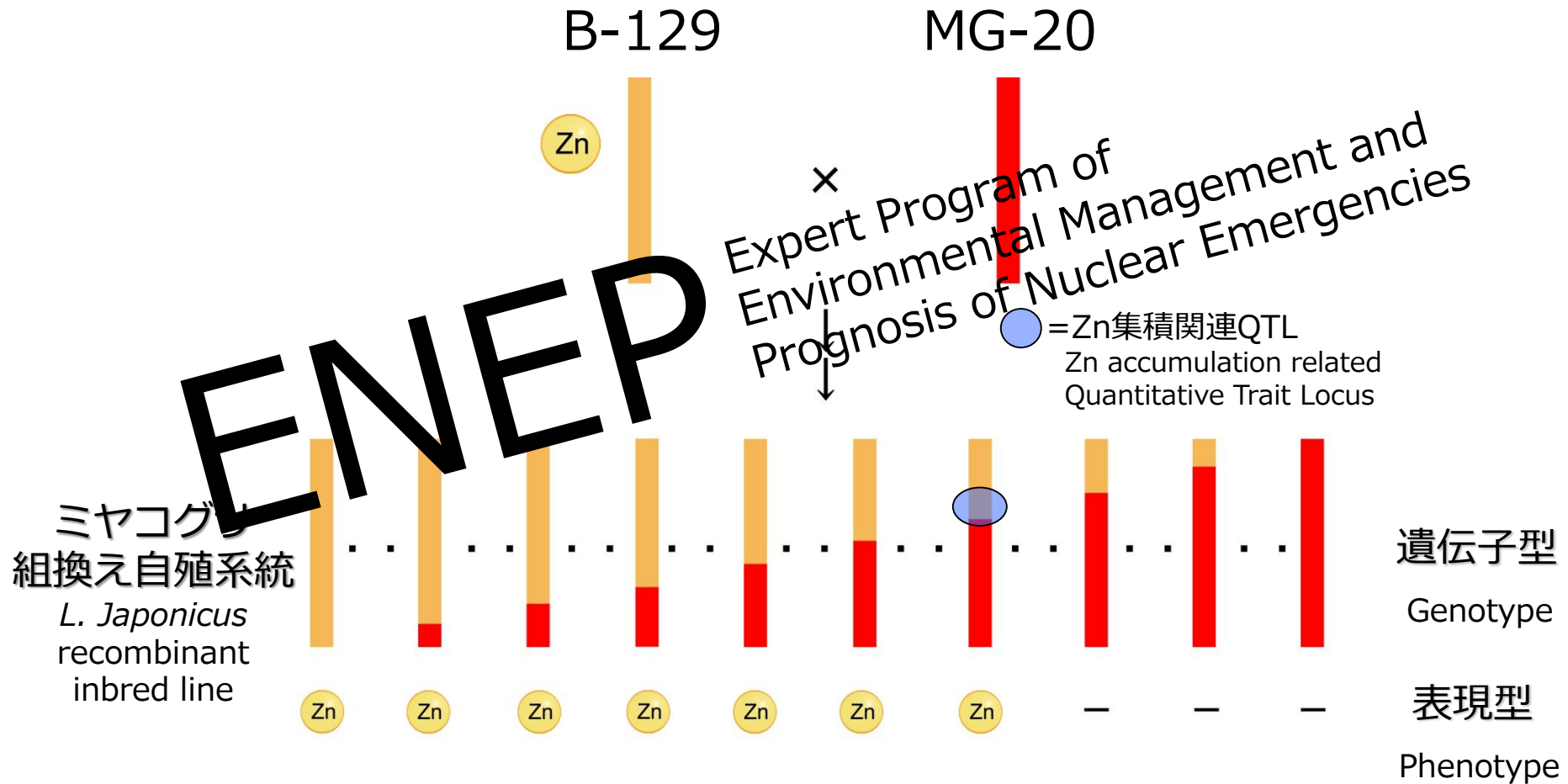


亜鉛の輸送速度に系統間差

Zinc transfer activity is differed between two cultivars

# 原因遺伝子の探索

Searching for the responsible genes



# ミヤコグサ組換え自殖系統

## *L. Japonicus* recombinant inbred line

# 1

~

#205

Chr. 1

Chr. 2

Chr. 3

Chr. 4

Chr. 5

Chr. 6

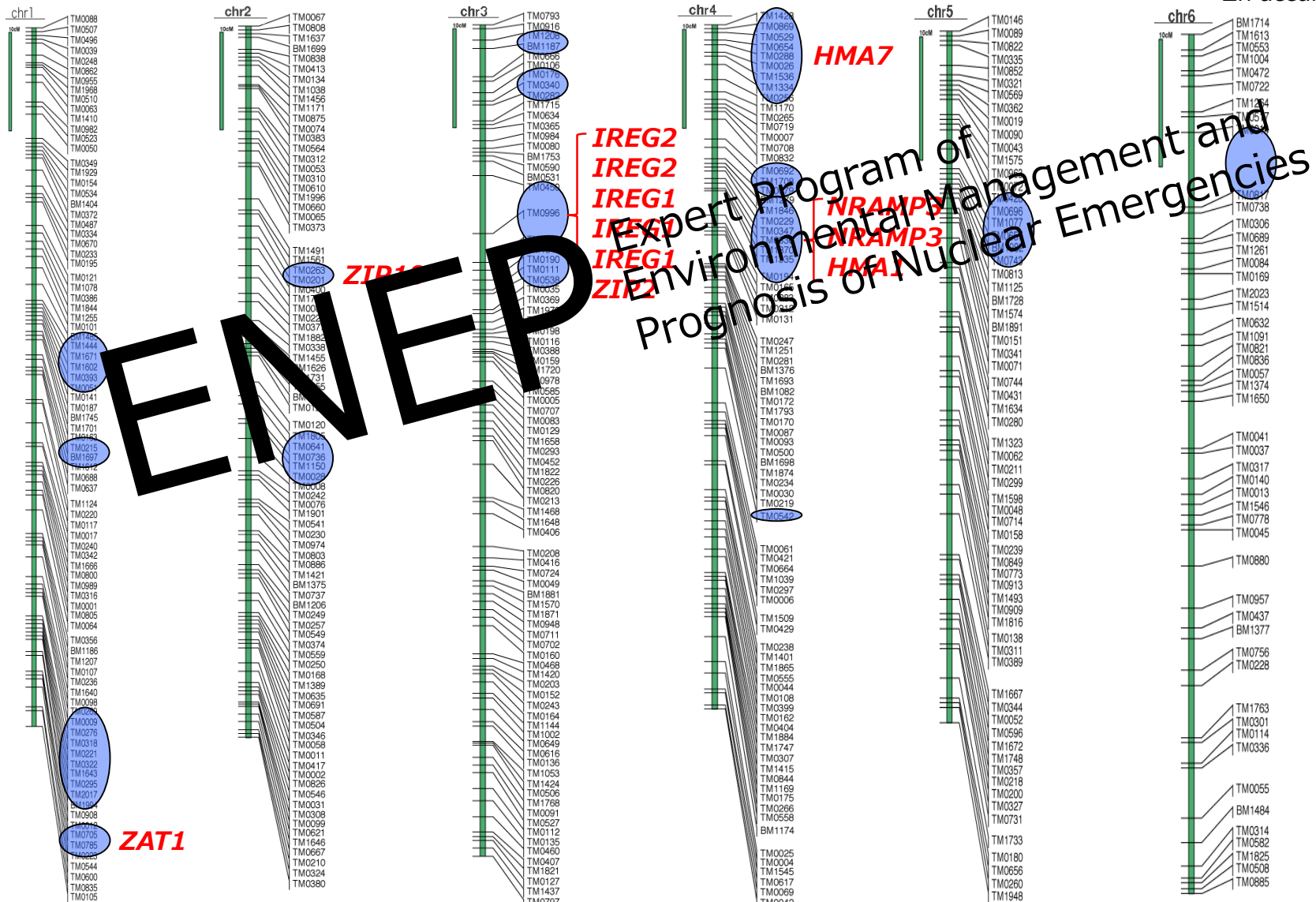
The image shows a large grid of colored squares in red, green, and blue, creating a pixelated or digital background. Overlaid on the top left of this grid is the word "ENEMY" in a large, bold, black sans-serif font. Below it, the word "prog." is written in a smaller, regular black font. The rest of the grid consists of a repeating pattern of colored squares.

# 地上部亜鉛集積関連遺伝子座

QTLs related to shoot Zn accumulation

●=地上部Zn集積関連QTL

QTL related to shoot  
Zn accumulation



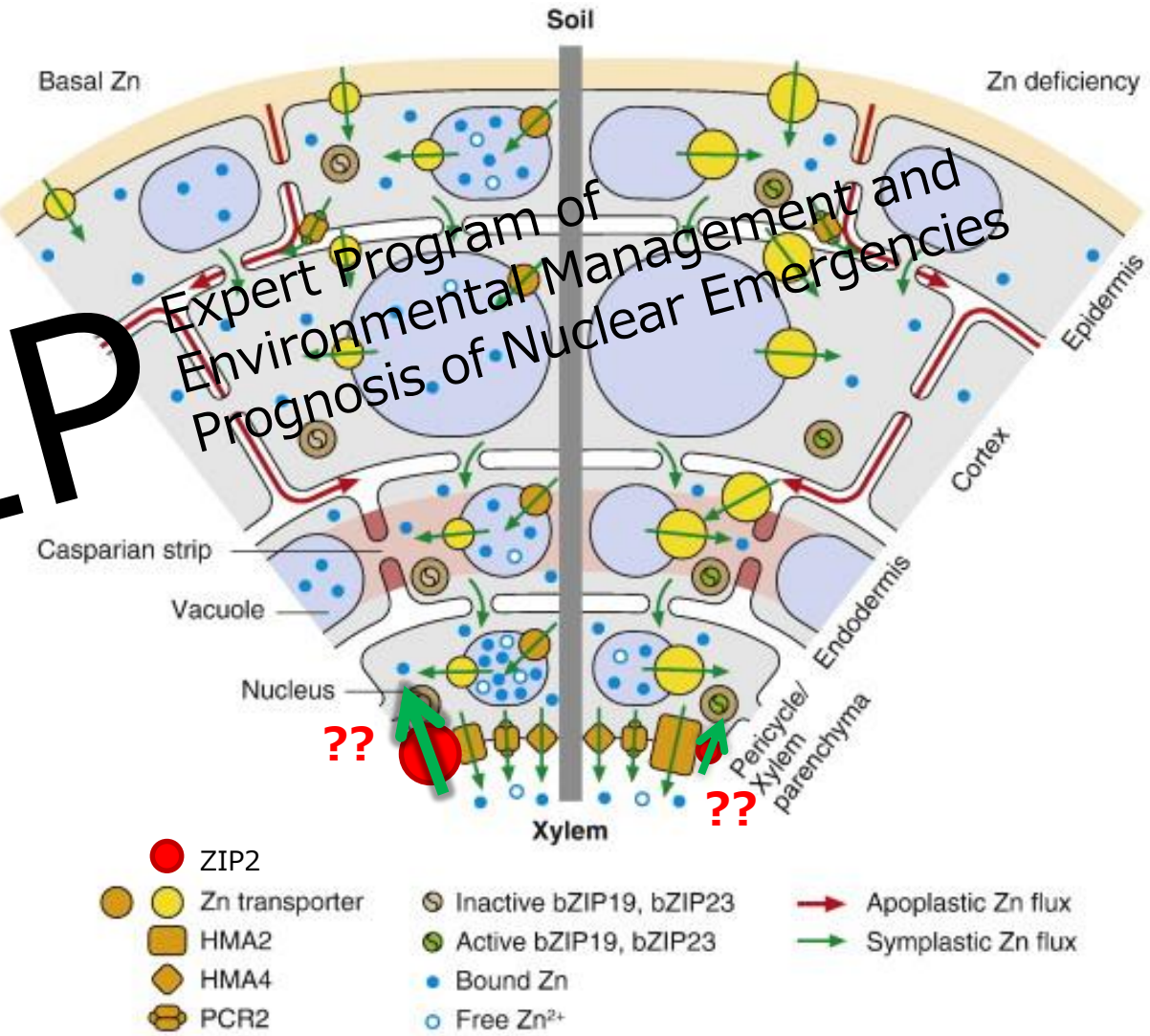
# 亜鉛輸送におけるZIP2の機能推測

Estimation of ZIP2 function in Zn transfer in plant

ENEP



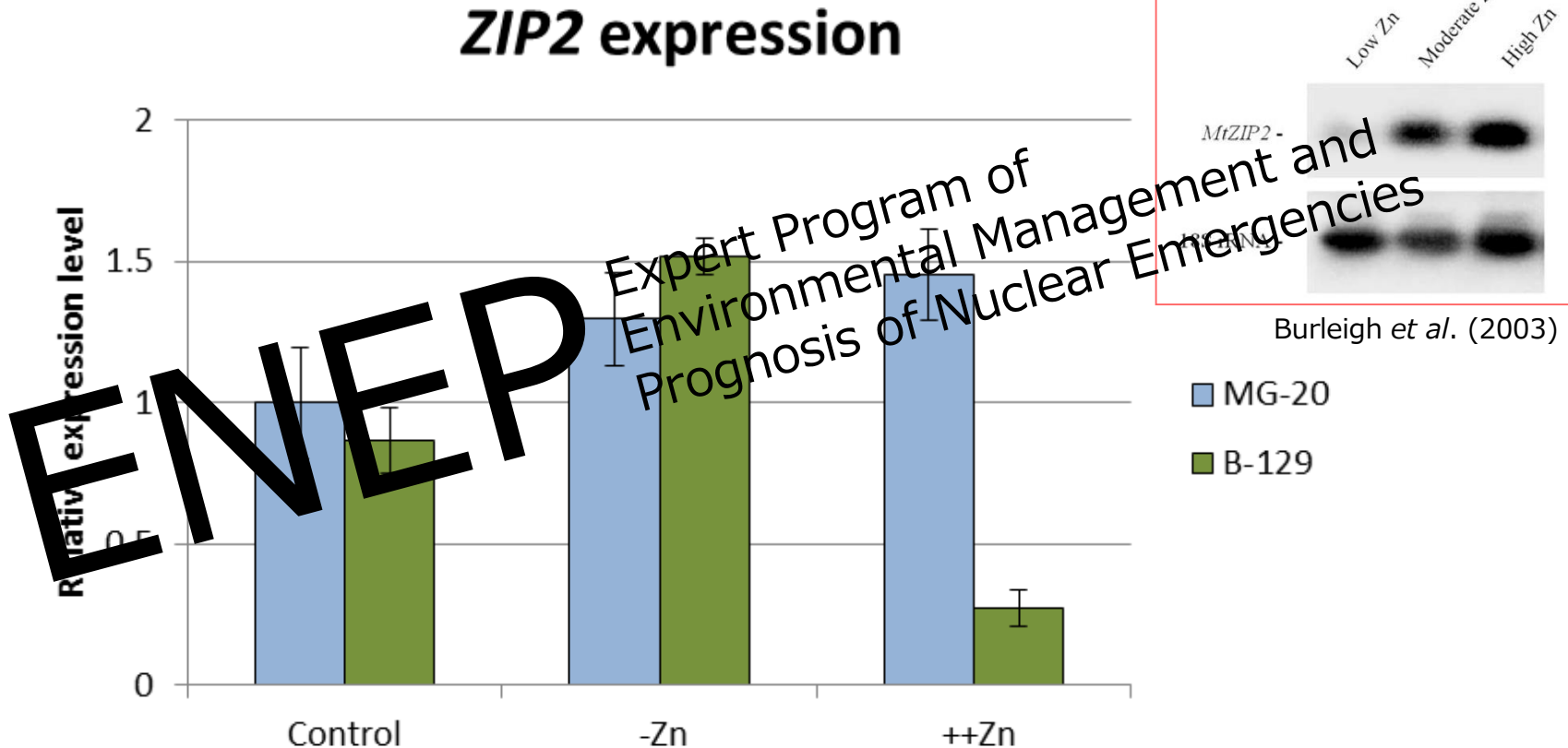
Burleigh et al. (2003)



Sinclair and Kramer (2012) modified

# 亜鉛欠乏/過剰条件下におけるZIP2発現

ZIP2 expression under deficiency or excess of Zn



コントロール : Control:  
1/10 Hoagland's Sol.  
(0.4  $\mu$ M Zn)  
for 4 weeks

Zn欠乏 : Zn deficiency:  
1/10 Hoagland's Sol.  
without Zn (0  $\mu$ M)  
for 4 weeks

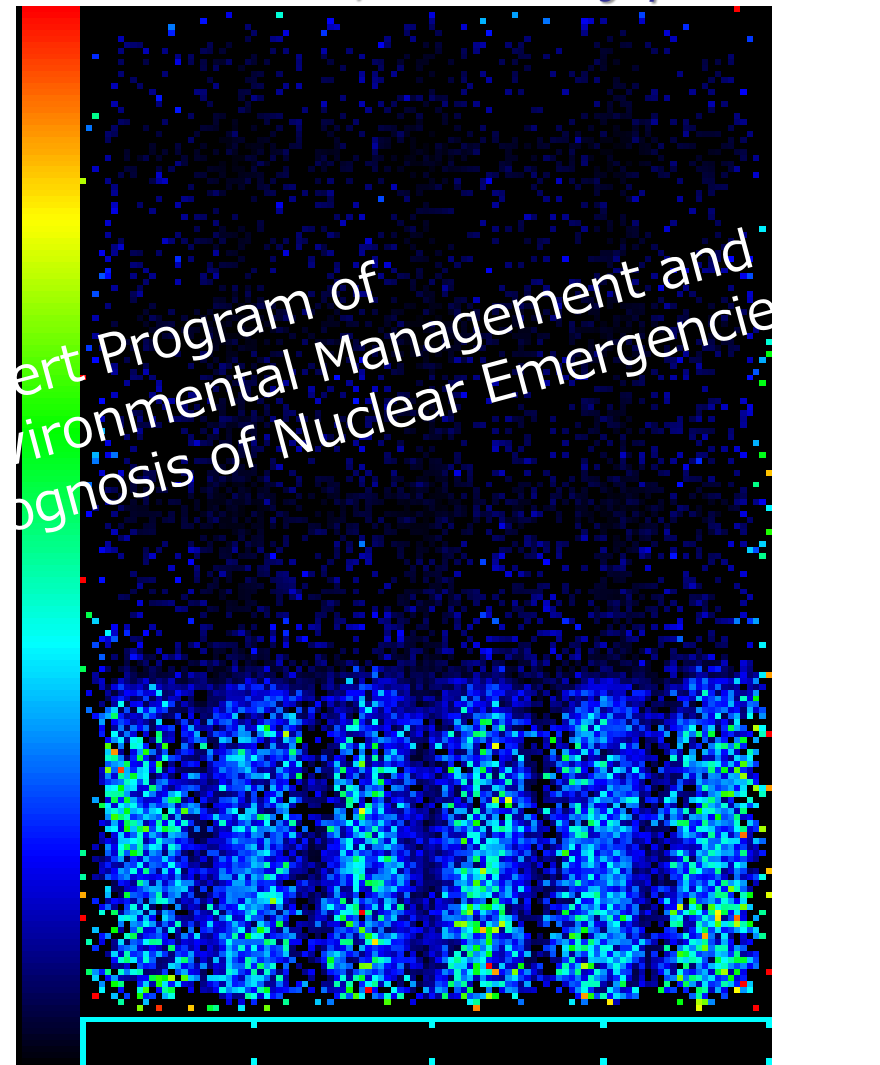
Zn過剰 : Zn excess:  
1/10 Hoagland's Sol.  
with 40  $\mu$ M Zn  
for 4 weeks

# 亜鉛欠乏/過剰ミヤコグサにおける亜鉛輸送

Real-time imaging of zinc transfer in Zn deficient/excess *L. japonicus*



Cont. -Zn +Zn  
Cont. -Zn +Zn  
MG-20 B-129

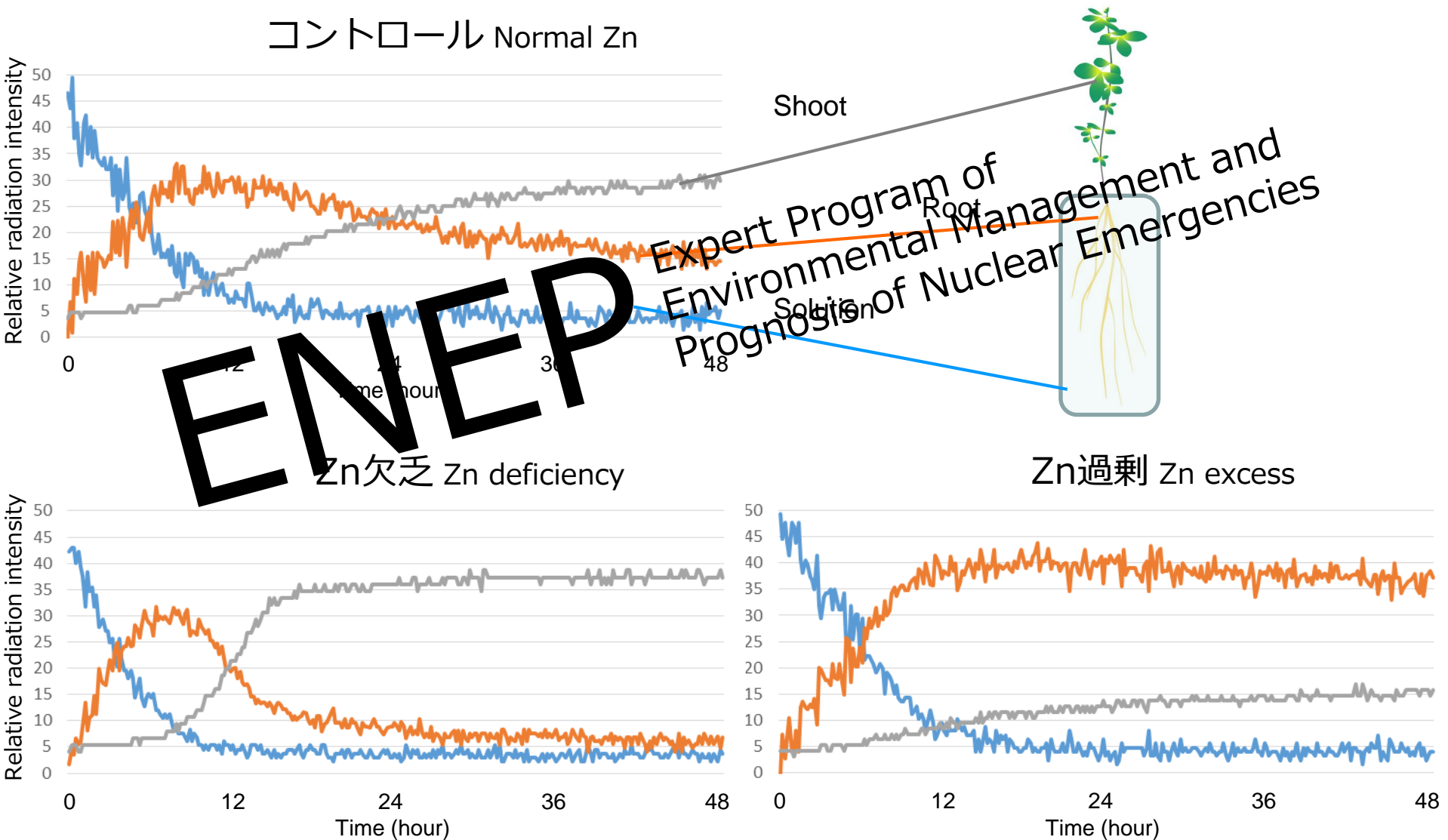


0 h 48 h  
Cont. -Zn +Zn Cont. -Zn +Zn  
MG-20 B-129

Emergency Program of Environmental Management and Diagnosis of Nuclear Emergencies

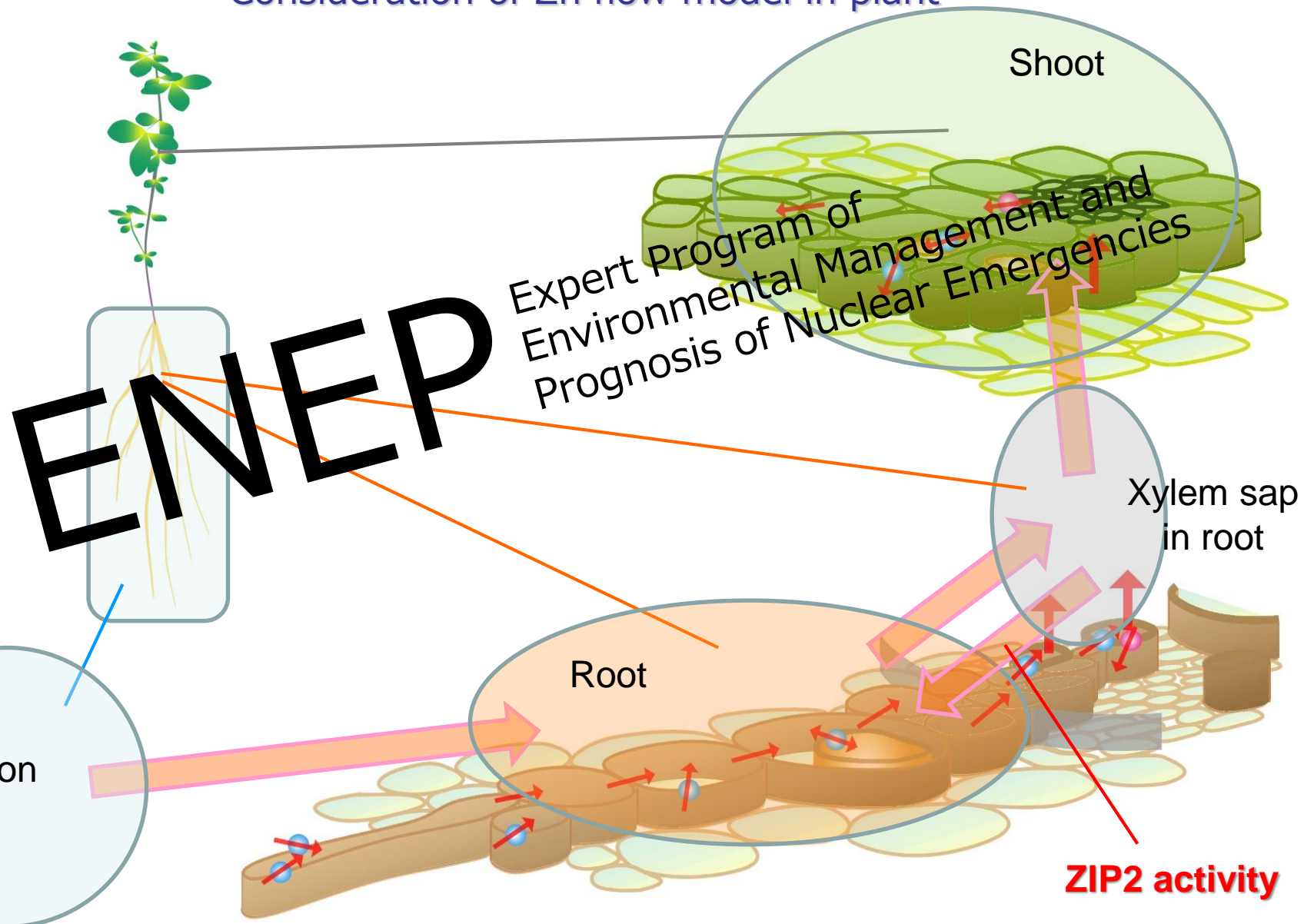
# 亜鉛欠乏/過剰植物の亜鉛輸送を数値化

Quantifying of zinc transfer in Zn deficient/excess *L. japonicus*



# 亜鉛フローモデルの検討

Consideration of Zn flow model in plant



# 導管への亜鉛輸送活性予測

Estimation of Zn loading activity into xylem sap

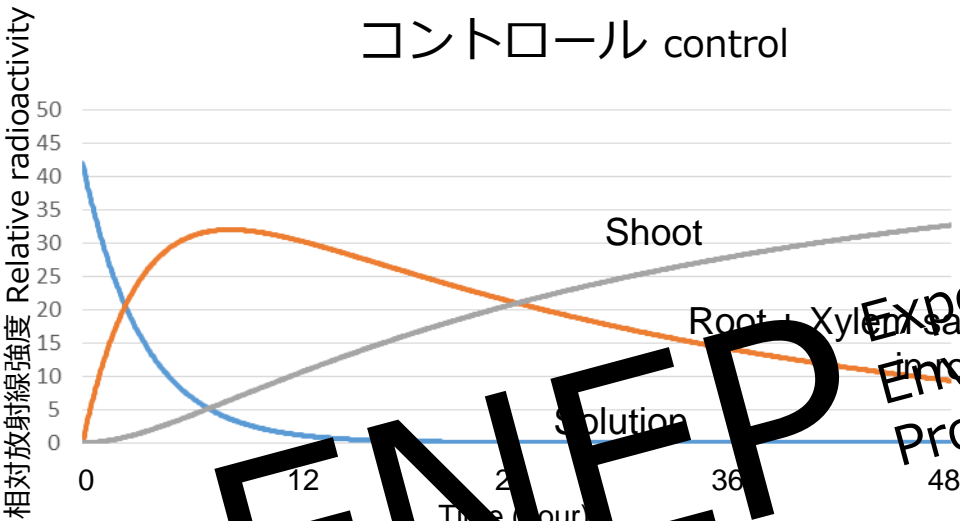
コントロール control

Shoot

Root Xylem sap  
Solution

ENEP

Zn欠乏 Zn deficiency



Zn loading  
Activity

Xylem sap  
in root

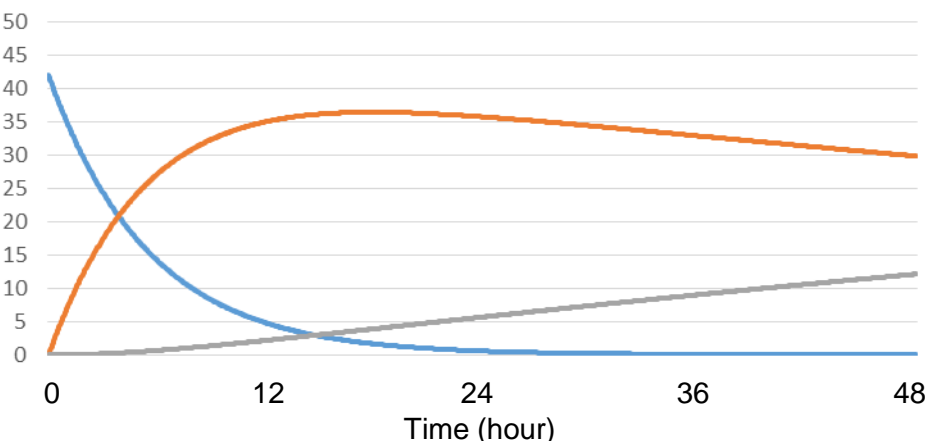
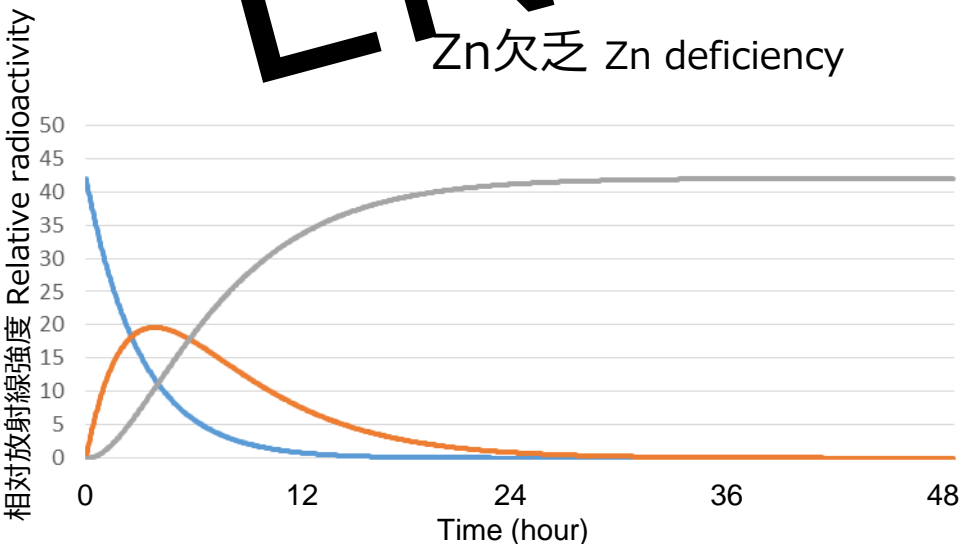
Expert Program of  
ZIP2 Management Activity  
Environmental Treatment  
prognosis of Nuclear Emergencies

ZIP2

Zn loading

1  
4  
0.05

Zn過剰 Zn excess



# 導管への亜鉛輸送活性の系統間差

Inter-strain difference in Zn xylem loading

## 導管内への亜鉛の予測輸送活性

Estimated Zn loading activity into xylem sap

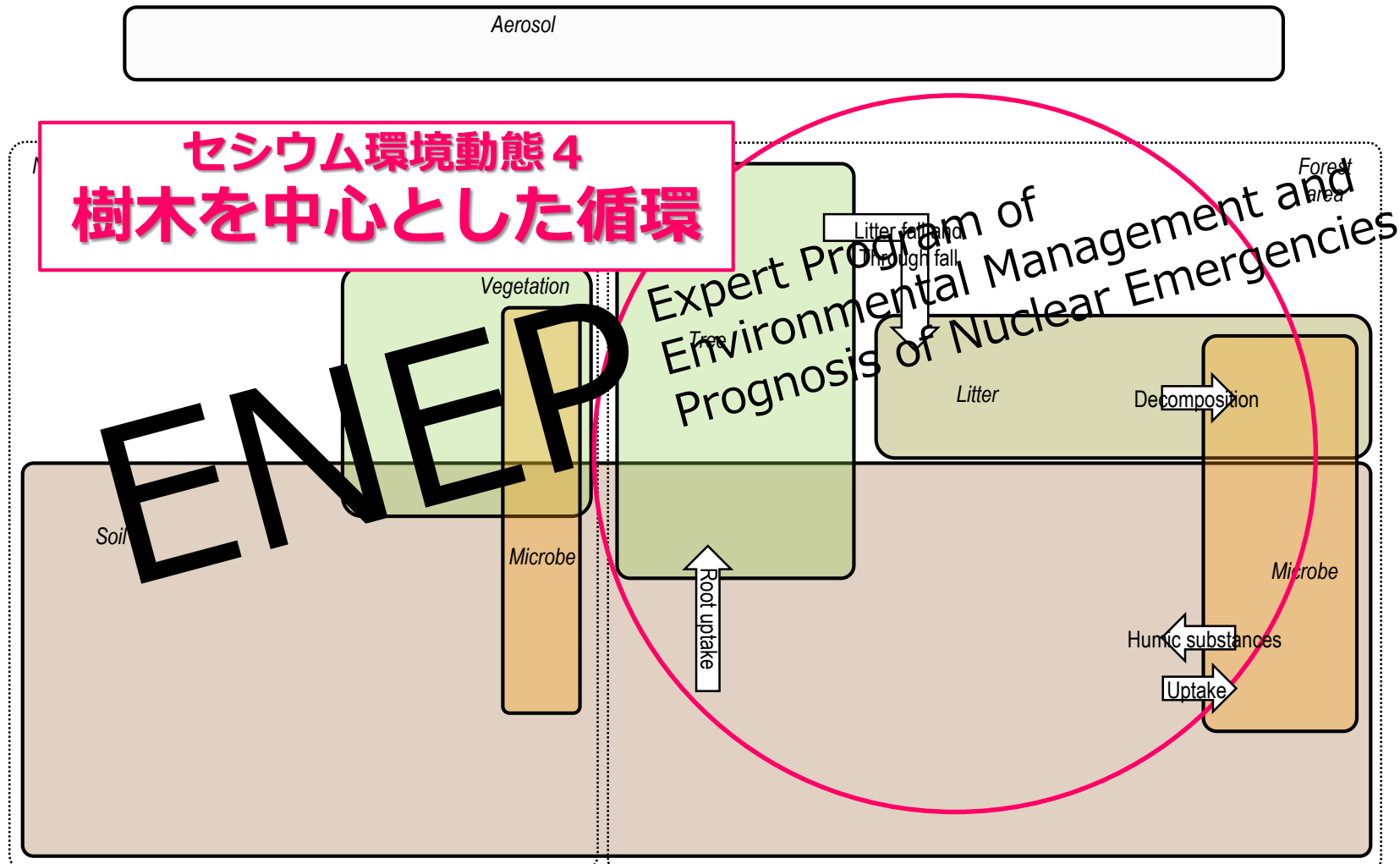
ZIP2発現量に基づいたモデルシミュレーションによる  
導管への亜鉛輸送活性 Zn loading activity into xylem sap was estimated  
with model simulation method based on the ZIP2 expression data.

Strain	Treatment	Zn loading
B-129	Control	1
	Zn deficiency	1.67
	Zn excess	0.28
MG-20	Control	1.11
	Zn deficiency	1.44
	Zn excess	1.61

B-129系統でより積極的な輸送活性の制御がなされている  
Highly regulated Zn transfer in B-129 strain was suggested

# 陸域生態系における動態把握

## Dynamics of radioactive nuclides within terrestrial ecosystem

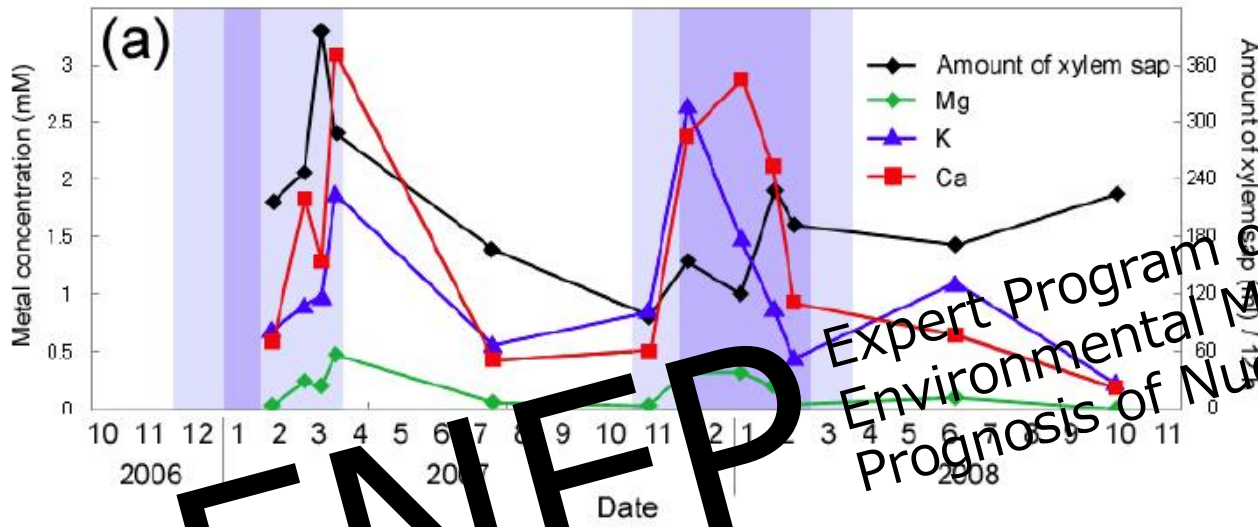


## *Ground and Surface water*

# 樹木における金属濃度の季節変動

Seasonal change of metal concentrations in tree

average temperatures were below  $10^{\circ}\text{C}$       average temperatures were below  $5^{\circ}\text{C}$



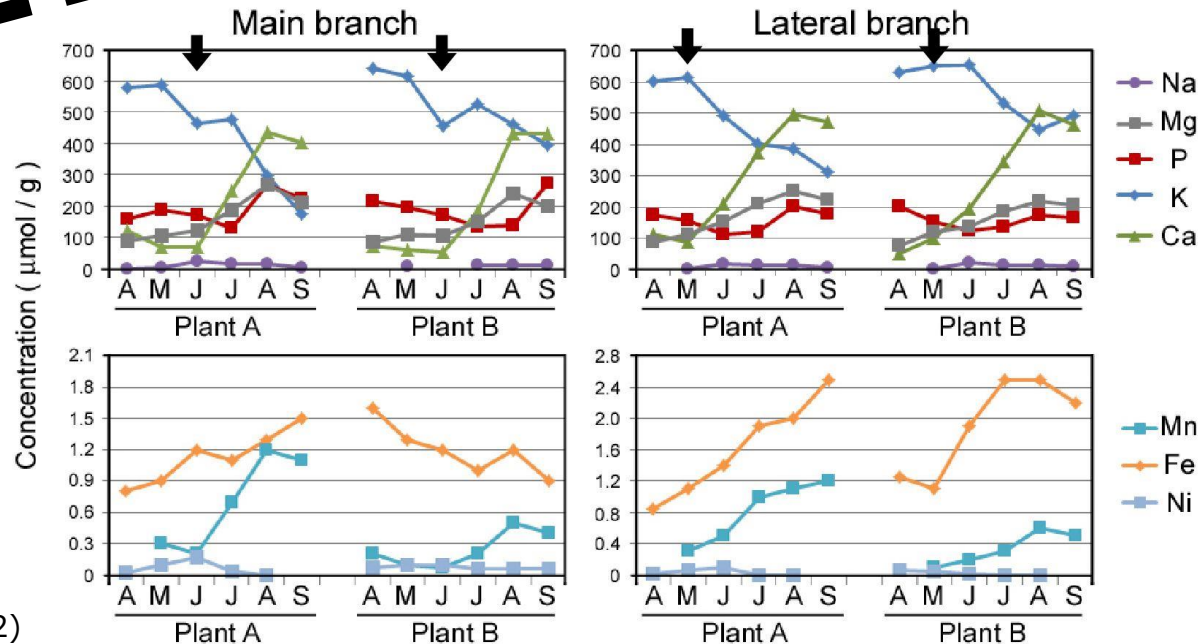
Xylem sap

Expert Program of  
Environmental Management and  
Prognosis of Nuclear Emergencies

(Furukawa et al. 2011)

ENECP

Leaf  
↓ : 休眠芽形成



(Furukawa et al. 2012)

# ポプラ Poplar

## Hybrid aspen T89 (*P. tremula* × *tremuloides*)

### 樹木における分子生物学のモデル植物

A model plant for genome studies in woody plants

ゲノム情報が利用可能

Genome information is available

分子生物学的手法が利用可能

Molecular biological approach

挿し木によるゲル栽培での継代が可能

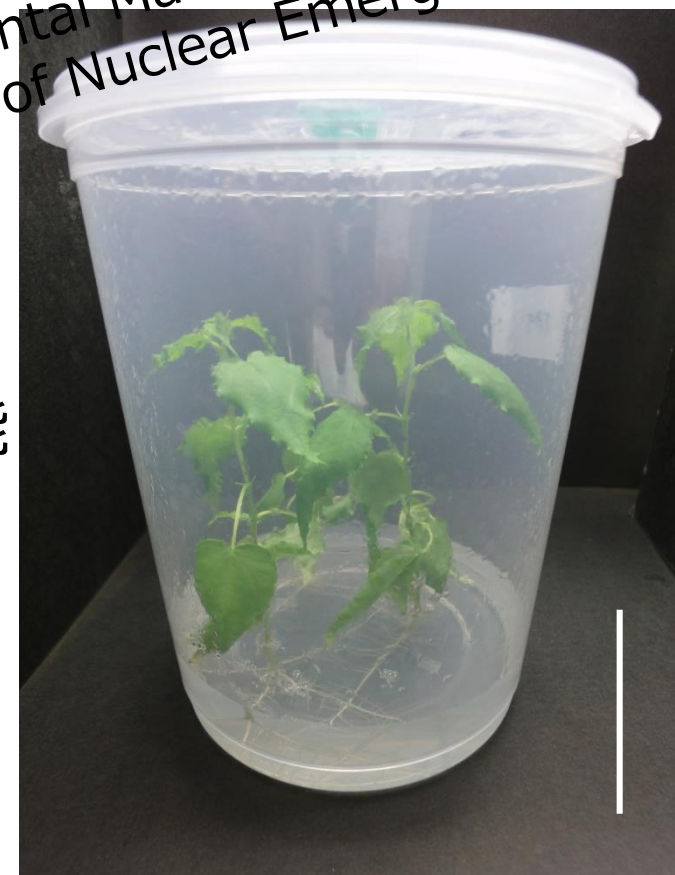
Cutting propagation with gel culture

葉への高いセシウム移行

High Cs transfer into the leaves

(Technical reports of IAEA; No,472)

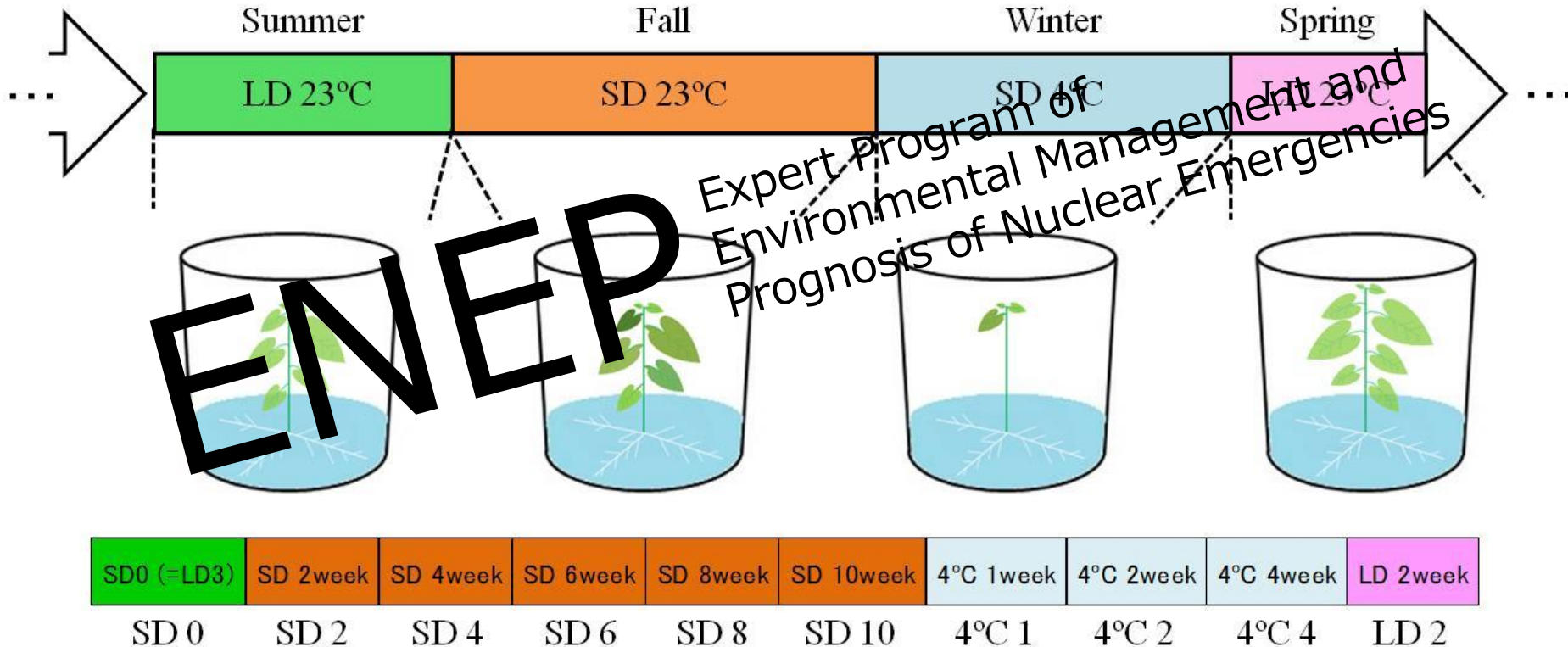
Expert Plant Program of  
Environmental Management and  
Prognosis of Nuclear Emergencies



Bar = 5 cm

# 樹木の疑似年間サイクル栽培

Artificial annual environmental cycle



LD condition (light/dark : 16/8 h), SD condition (light/dark : 8/16 h)

# $^{137}\text{Cs}$ を用いた局在解析

Localization analysis using  $^{137}\text{Cs}$

挿し木後3週間長日条件下で栽培

Poplar grown up during 3 weeks under LD condition (light/dark, 16/8 h; 23°C)



長日あるいは短日処理

LD or SD treatment



放射性セシウムをゲルあるいは  
葉面に投与

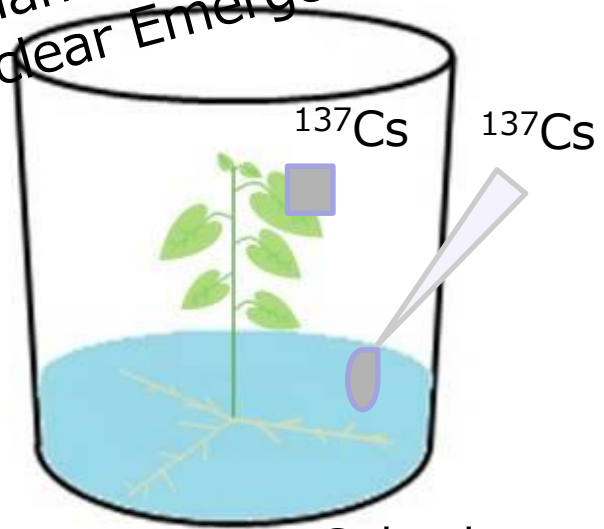
Radio cesium ( $^{137}\text{CsCl}$  with  $0.1 \mu\text{M}^{133}\text{CsCl}$ ) was added  
to the gel or applied to leaf with paper disk



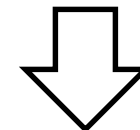
A)  $^{137}\text{Cs}$  局在解析  $^{137}\text{Cs}$  distribution analysis

B)  $^{137}\text{Cs}$  定量  $^{137}\text{Cs}$  measurement

Expert Program of  
Environmental Management and  
Prognosis of Nuclear Emergencies



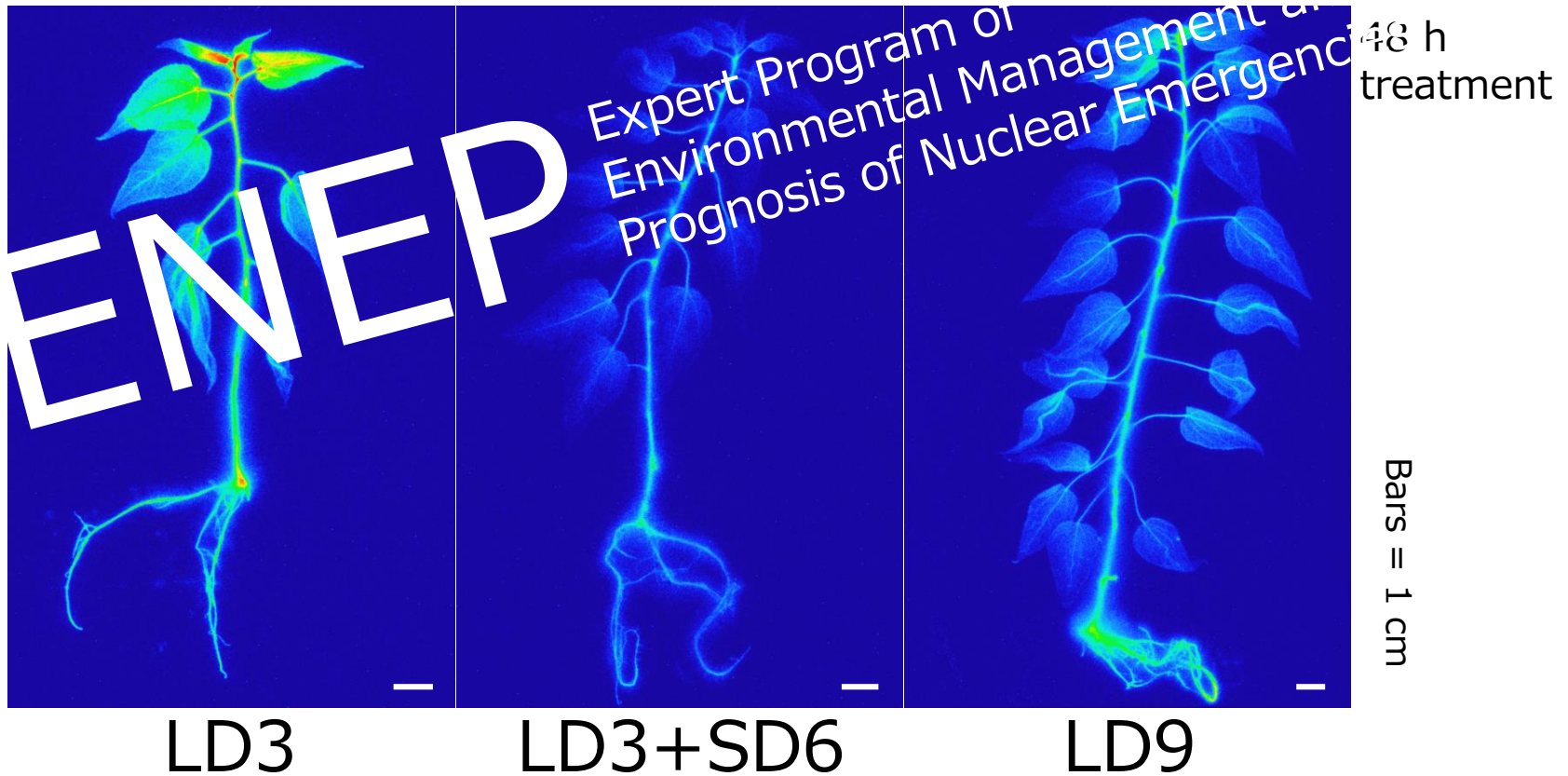
Gel culture



BAS Imaging & Gamma counter

# 経根吸収によるセシウムの局在解析

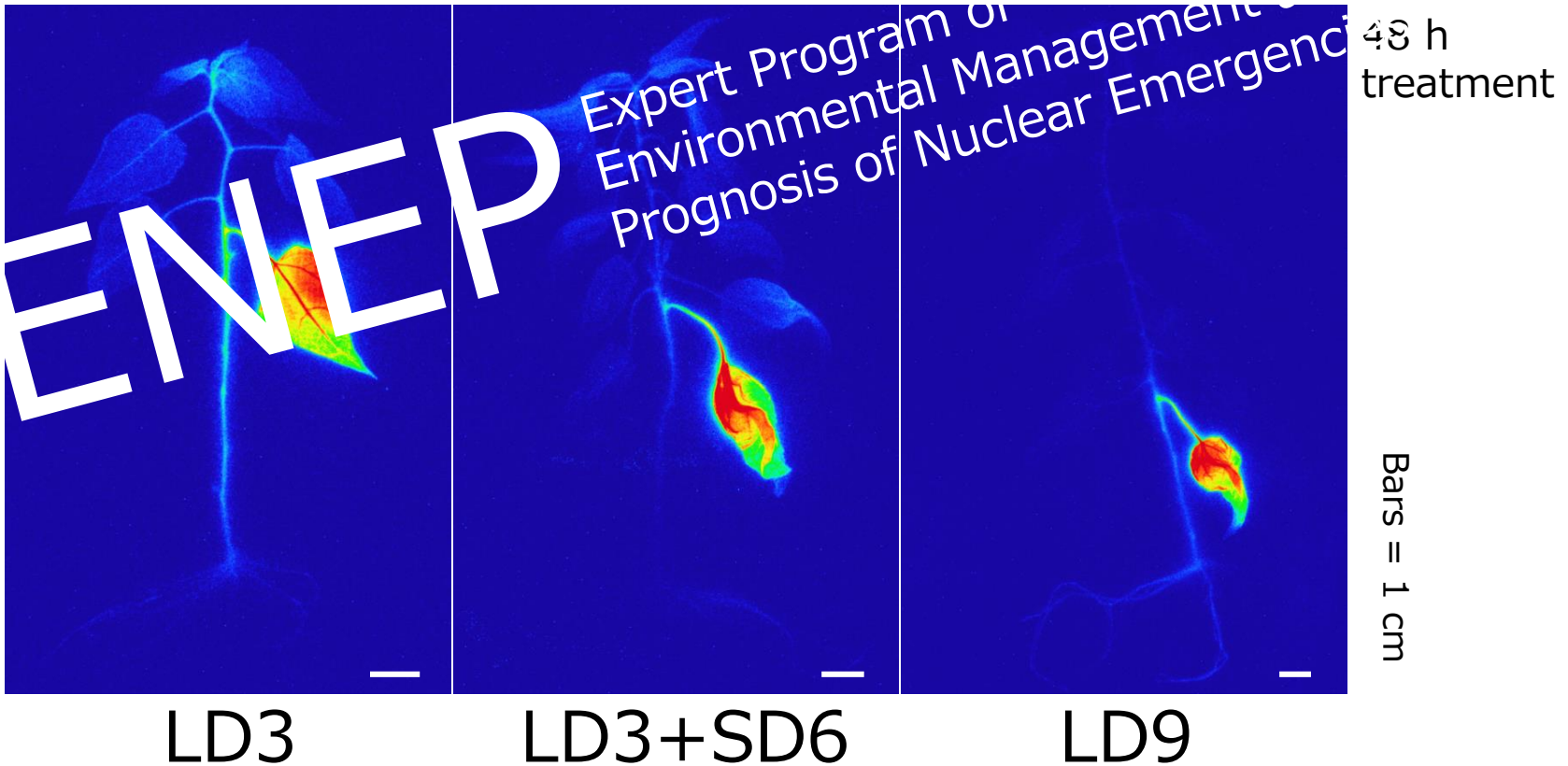
Cesium localization in poplar through root absorption



(Noda et al. 2016)

# 葉面吸収によるセシウムの局在解析

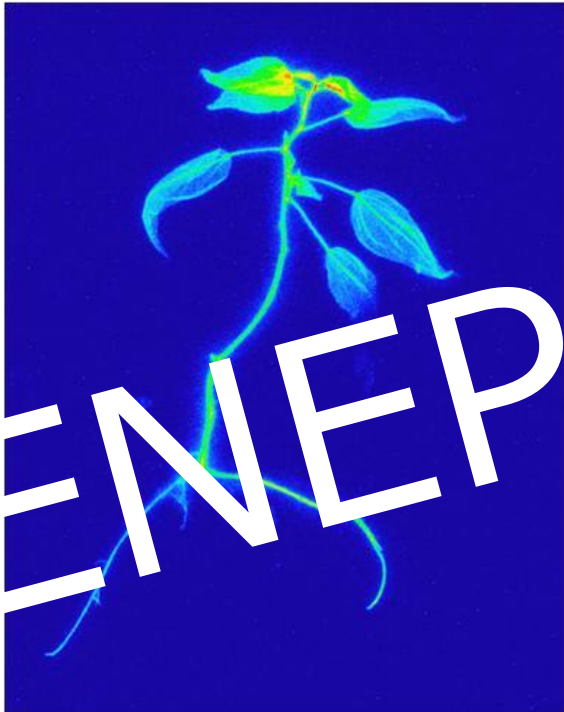
Cesium localization in poplar through foliar application



# セシウム輸送機構の候補

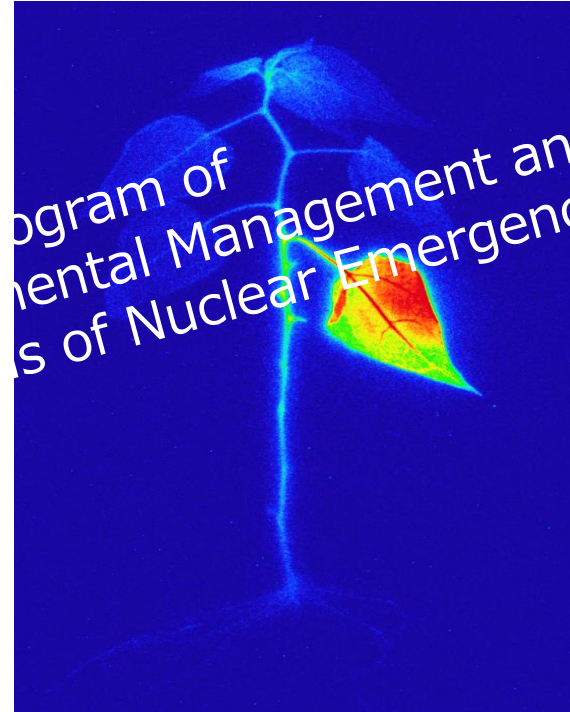
Candidate Cs transport mechanisms in poplar

Root absorption



48 h  
treatment

Foliar application



根からの栄養吸収 Nutrition absorbed by root

→ 導管輸送 Xylem transport

養分の回収 Nutrition retrieved

→ 篩管輸送 Phloem transport

# カリウム輸送系を介したセシウムの吸収と輸送

Uptake and translocation of  $^{137}\text{Cs}$  mediated by  $\text{K}^+$  transport systems

Inward  $\text{K}^+$  channel

AKT1, KAT1, KST1 etc.

High-affinity  $\text{K}^+/\text{H}^+$  symporter

KUP1, HAK5 etc.

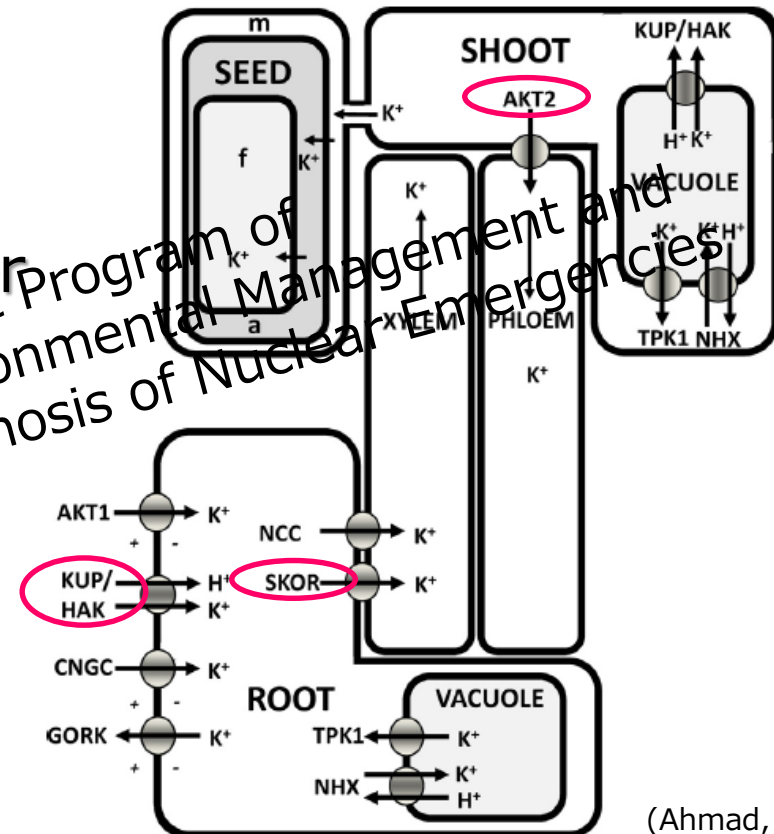
High-affinity  $\text{K}^+$  transporter

HKT1 etc.

Non-selective cation channel

CNGC, GLR etc.

**ENP**



(Ahmad, 2014)

日長の変化により活性化される輸送系の解明が必要

Identification of Cs translocation system activated by the change of day length

# 疑似年間サイクルにおけるSKORの発現

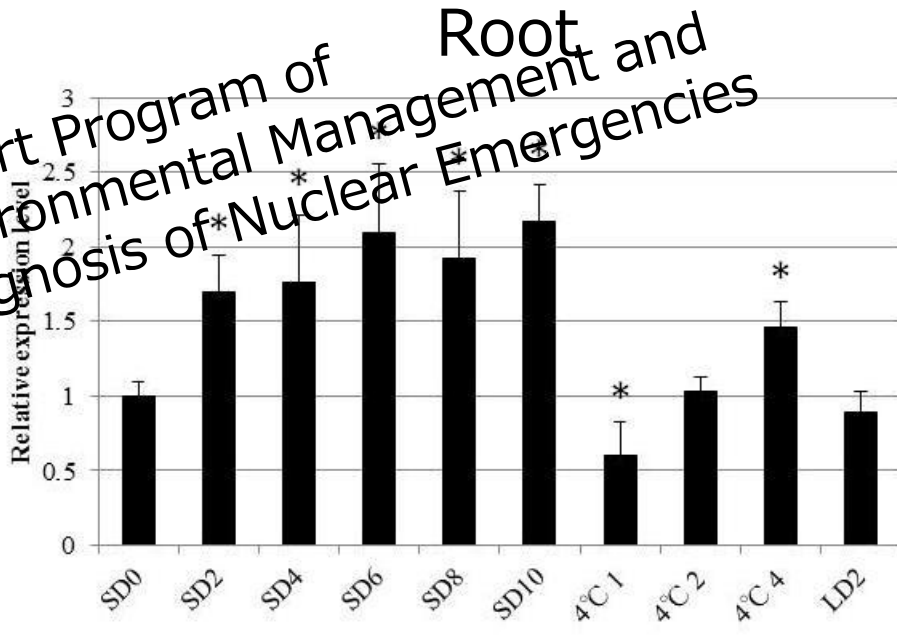
*PttSKOR-like2* gene expression in artificial annual environmental cycle

## *PttSKOR-like2* Expression

Upper shoot



Expert Program of  
Environmental Management and  
Prognosis of Nuclear Emergencies



\* < 0.05

(normalized by SD0 condition)

## *PttSKOR-like2*は短日と低温で誘導される

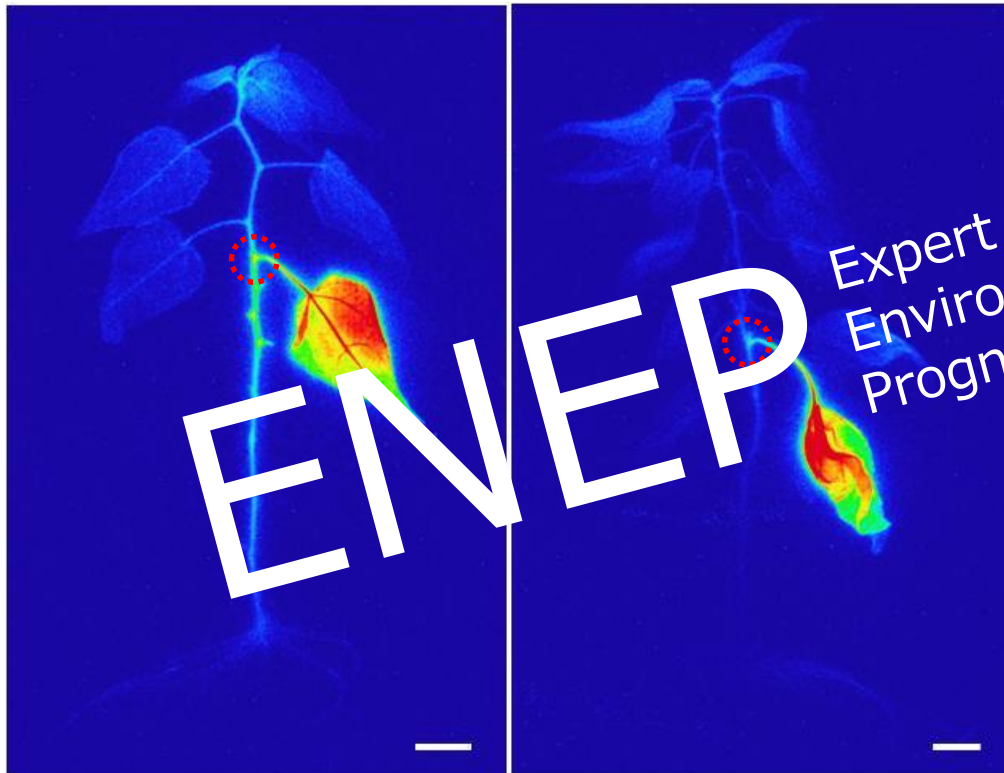
*PttSKOR-like2* expression was up-regulated by short-day and low-temperature condition in poplar

# 節における*PttSKOR-like2*の発現誘導

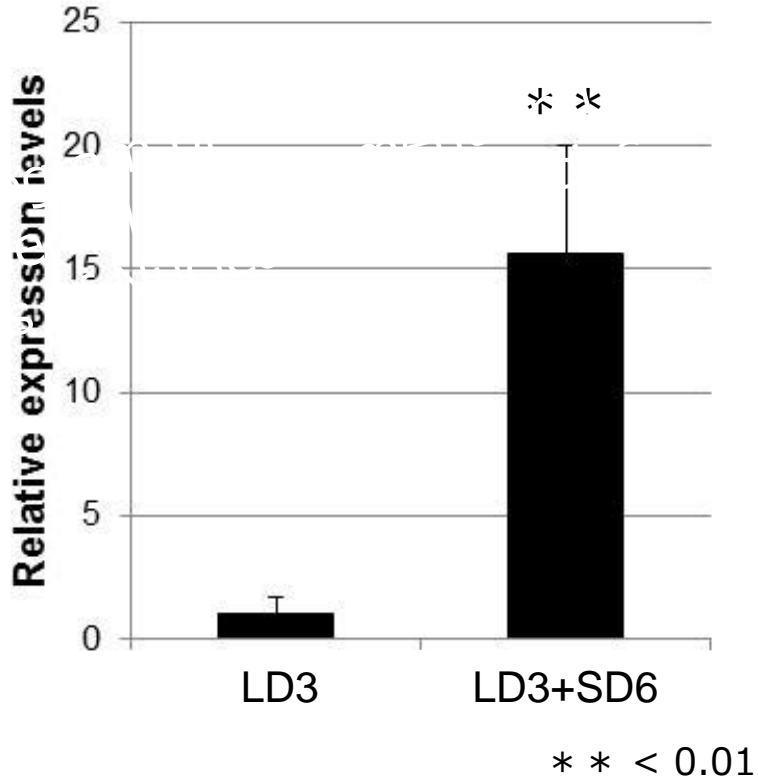
Induction of *PttSKOR-like2* expression in node

LD3

LD3+SD6



*PttSKOR-like2*



\* \* < 0.01

SD処理により節で*PttSKOR-like2*の発現が誘導される

*PttSKOR-like2* expression was up-regulated by  
short-day condition in node

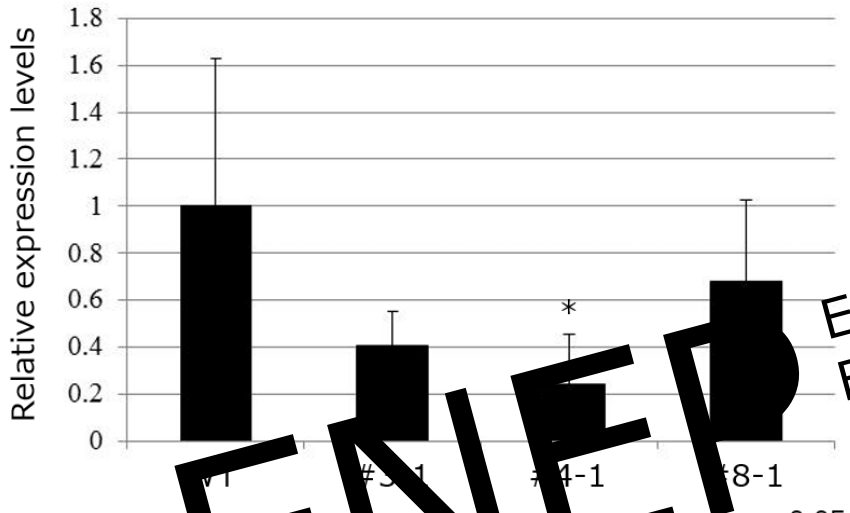
→ 節で*PttSKOR-like2*が導管へ乗せ換え？

*PttSKOR-like2* was suggested to be involved in xylem loading of Cs in the node

# SKOR発現抑制体における<sup>137</sup>Cs動態

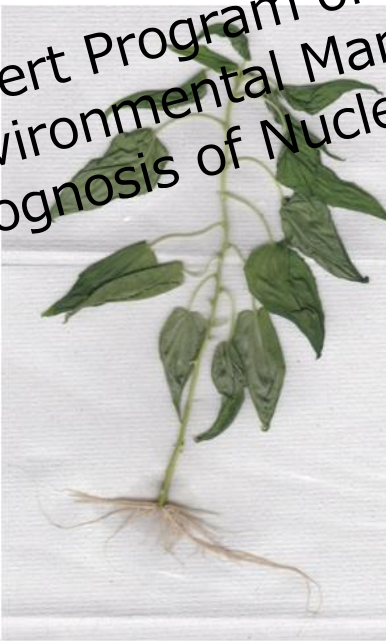
<sup>137</sup>Cs behavior in *PttSKOR-like2* suppression line

*PttSKOR-like2* expression in leaf

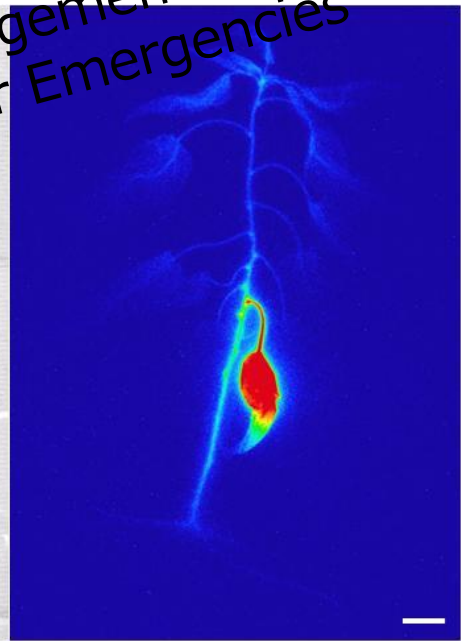


ENEP

#4-1  
LD3+SD6  
Photo  
Expert Program of  
Environmental Management  
Prognosis of Nuclear Emergencies



#4-1  
LD3+SD6  
<sup>137</sup>Cs transfer  
Localization



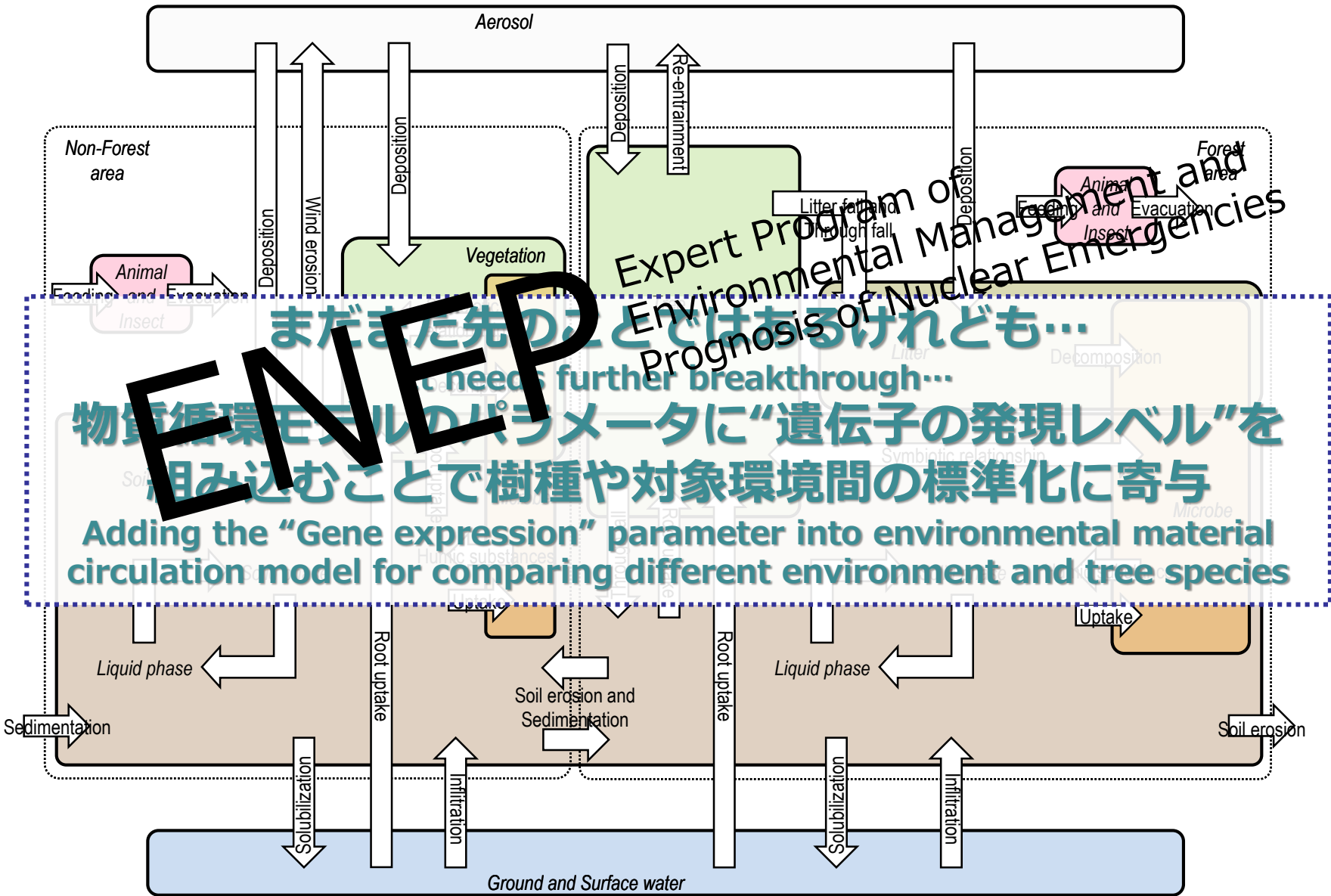
Bar = 1 cm

SD環境にも関わらず、*PttSKOR-like2*の発現抑制体では  
主に処理葉よりも下部へセシウムが輸送された

In the *PttSKOR-like2* suppression line, <sup>137</sup>Cs was transferred to  
the lower part in spite of short-day condition

# 陸域生態系における動態把握

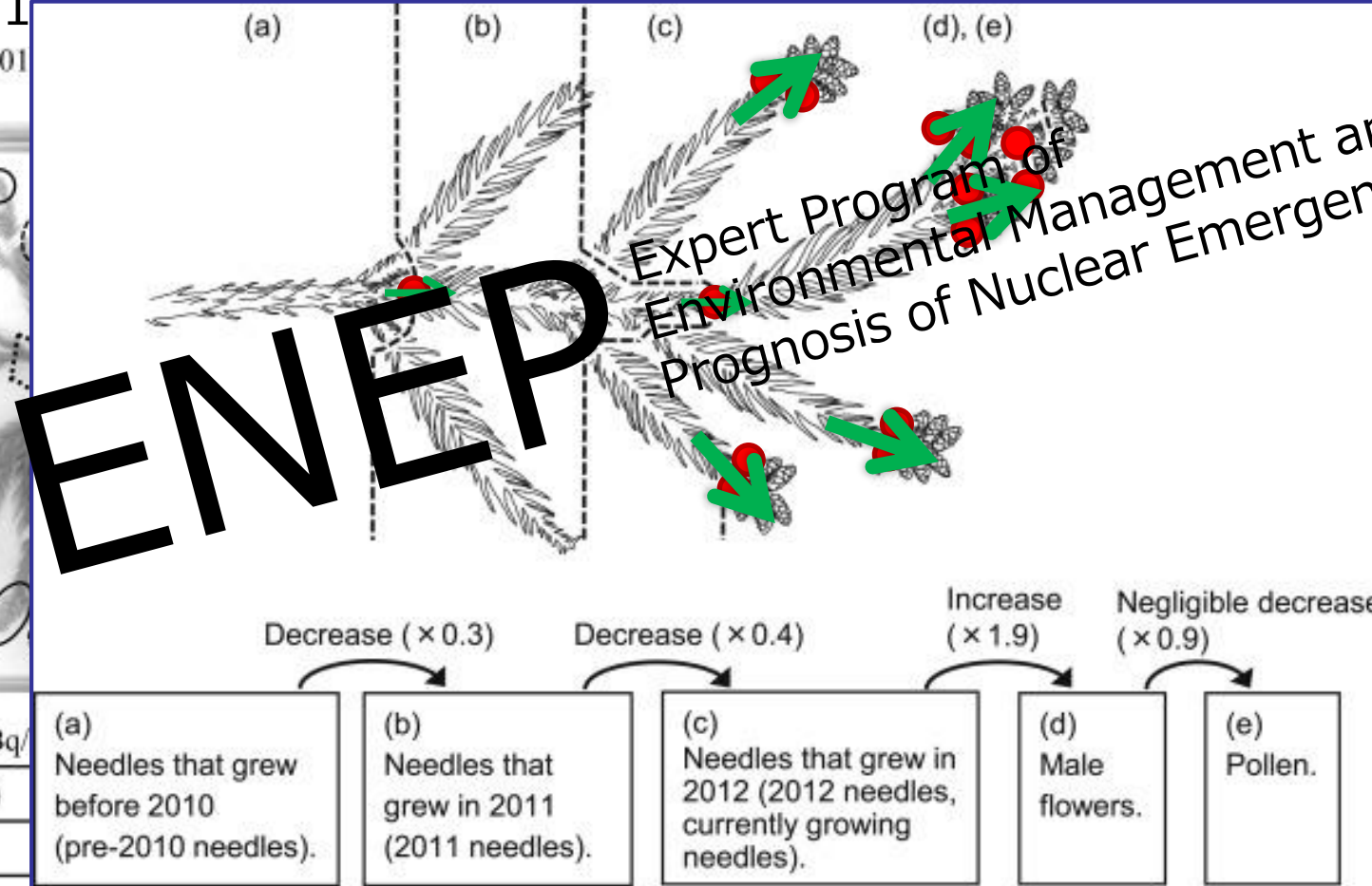
Dynamics of radioactive nuclides within terrestrial ecosystem



# 福島県でサンプリングされたスギの汚染

Radio-Cs contamination of sugi (*Cryptomeria japonica*)

H24.12.1  
Futaba (01)



Gene expression  
Estimated Cs flow

